



توکسینولوژی سنگ ماهی (*Synanceja spp.*)، از الف تا یاء: یک مطالعه مروری

غلامحسین محبی (PhD)^{۱*}

^۱ مرکز تحقیقات زیست فناوری دریایی خلیج فارس، پژوهشکده علوم زیست پزشکی خلیج فارس، دانشگاه علوم پزشکی بوشهر، بوشهر، ایران

(دریافت مقاله: ۱۴۰۰/۴/۱۴ - پذیرش مقاله: ۱۴۰۰/۵/۱۸)

چکیده

اعتقاد بر این است که سنگ ماهی، زهرآگین‌ترین، خطرناک‌ترین و حتی کشنده‌ترین ماهی برای انسان و جانوران است که تاکنون در جهان شناخته شده است. دستگاه زهری آن‌ها شامل ۱۲-۱۳ هیپودرمیک پستی، دو پلیویک و سه خار مقعدی است که حاوی زهر هستند. خارهای سینه‌ای تزئینی بوده و زهری نیستند. زهر آن‌ها حاوی مخلوطی از پروتئین‌های آنزیمی و غیرآنزیمی نظیر استونوستوکسین، تراکینیلین، وروکوتوکسین و نئوروکسین با فعالیت‌های بیولوژیک و مکانیسم‌های سمیت مختلف است. آن‌ها با مکانیسم‌های گوناگونی، بر روی گیرنده‌ها و کانال‌های یونی عمل می‌کنند و موجب عوارض برجسته موضعی و سیستمیک در جانوران تلقیح شده با زهر می‌شوند. بیشتر پروتکل‌های معمولی مدیریت مسمومیت شامل احیای اولیه، تسکین علائم درد با آب گرم (۴۵ درجه سانتی‌گراد)، کاربرد آنتی‌ونوم برای رفع علائم موضعی سیستمیک یا شدید و برداشتن تیغ‌ها یا دیگر اجسام خارجی با جراحی می‌باشند. توصیه‌های متعددی در مورد استفاده از غوطه‌وری ارگان مورد تهاجم در آب داغ، به عنوان یک اقدام اولیه وجود دارد. آنتی‌بیوتیک‌ها در زخم‌های عمیق به دلیل شیوع زیاد زخم به همراه، نکروز و عفونت‌های ثانویه، پیشنهاد می‌گردند. مانند هر چیز دیگری، پیشگیری بهتر از درمان است و باید در آب‌های مناطقی که سنگ‌ماهی وجود دارند، کفش پوشید و آگاهانه قدم برداشت.

واژگان کلیدی: سنگ‌ماهی، تلقیح زهر، توکسین‌ها، تظاهرات بالینی، مدیریت مسمومیت

**بوشهر، مرکز تحقیقات زیست فناوری دریایی خلیج فارس، پژوهشکده علوم زیست پزشکی خلیج فارس، دانشگاه علوم پزشکی بوشهر، بوشهر، ایران.

مقدمه

طیف گسترده جانوران بالقوه خطرناک دریایی را می‌توان به چهار گروه تقسیم نمود؛ برخی گاز می‌گیرند، برخی نیش^۱ می‌زنند (تلقیح زهر^۲)، برخی در صورت خورده شدن موجب مسمومیت می‌گردند و برخی که موجب شوک الکتریکی ایجاد می‌شوند (۱ و ۲).

تعداد بسیار زیادی ماهیان زهرآگین در آب‌های شیرین و شور سراسر جهان زندگی می‌کنند (۳). گزش‌های ماهی‌ها و همزادهای آن‌ها از شایع‌ترین آسیب‌ها در انسان است (۱ و ۸-۳). آن‌ها متعلق به چند صد گونه هستند و براساس ساختارهای اندام زهری و سمیت به سه خانواده شیرماهی‌ها^۳ (پترویس^۴)، عقرب‌ماهی‌ها (اسکورپینه^۵) و سنگ‌ماهی‌ها (سینانسیجه^۶) تقسیم می‌گردند و می‌توانند موجب صدمات و تظاهرات شدید موضعی و سیستمیک شوند (۱، ۳، ۱۱-۹).

گفته می‌شود که سنگ‌ماهی‌ها، از زهرآگین‌ترین، خطرناک‌ترین و حتی کشنده‌ترین ماهی‌هایی هستند که تاکنون شناخته شده‌اند (۱۶-۱۲).

سه گونه مشهور آن‌ها شامل سینانسیجه هوریدا^۷، سینانسیجه وروکوزا^۸ و سینانسیجه تراکینیس^۹ (۱۳، ۱۷ و ۱۸) و پس از آن سینانسیجه نانا^{۱۰} و سینانسیجه الولا^{۱۱} می‌باشند (۱۲ و ۱۹). در تقسیم‌بندی قدیمی‌تر، بر اساس مطالعه اسمیت و همیسترا (Smith & Heemstra)، در تیره سینانسیجه پنج گونه سنگ‌ماهی سینانسیجه هوریدا- که پیش از آن سینانسیجه تراکینیس گفته می‌شد-، سینانسیجه وروکوزا، سینانسیجه الولا، سینانسیجه نانا و سینانسیجه پلاتیرینکا^{۱۲}

وجود دارد (۲۰). این طبقه‌بندی، سینانسیجه هوریدا و سینانسیجه تراکینیس را یکسان در نظر گرفته است. به طور نامناسب، این خانواده دارای نام‌های عمومی گیج‌کننده‌ای هستند که مانع شناسایی دقیق، طبقه‌بندی و درک درست از مکانیسم تلقیح زهر آن‌ها می‌گردد (۹). به هر حال، آن‌ها مسئول مرگ و میرهای متعدد و سمیت‌های شدیدی در انسان‌ها بوده‌اند (۱۲، ۲۱ و ۲۲). اصطلاح "سنگ‌ماهی" توانایی استتار این جانور را با کمک رنگدانه‌های خاکستری و لکه‌دار شبیه به سنگ نشان می‌دهد (۲۳). دلیل نسبت دادن نام‌هایی چون وارتنی غول و نوهو^{۱۳} (در انتظار) (۱۲)، صخره‌ماهی^{۱۴}، دورنورن^{۱۵} و همچنین سنگ‌ماهی صخره‌ای به آن‌ها به‌راحتی قابل درک است (۲۳ و ۲۴). در طول تاریخ، به سنگ‌ماهی‌ها، با نفرت و اضطراب نگریسته می‌شدند و آن‌ها به دلیل نگاه نازیبا و زهر مهلک، برجسب‌های "استاد فریب"^{۱۶} و "شیطان‌ماهی"^{۱۷} را نیز دریافت نموده‌اند (۲۵).

سنگ‌ماهی‌ها در سراسر آب‌های ساحلی استرالیا یافت می‌شوند (۱۲، ۲۴ و ۲۶) و بیشترین گونه سنگ‌ماهی که در این آب‌ها دیده می‌شود سینانسیجه تراکینیس می‌باشد (۲۷). آن‌ها معمولاً در آب‌های گرمسیری کم‌عمق مناطق اقیانوس هند و آرام (۱۰، ۱۴، ۲۴، ۳۲-۲۸)، مناطق صخره‌ای در سواحل اقیانوس هند (۳۳ و ۳۴) و دریای سرخ (۱۵) نیز یافت می‌شوند.

در نواحی ساحلی اندونزی آن‌ها را "لپو"^{۱۸} می‌نامند (۳۵). "فریاله"^{۱۹} (شکل ۱)، نوعی سنگ‌ماهی است که

¹¹ *S. alula*

¹² *S. platyrhyncha*

¹³ Warty Ghoul and Nohu

¹⁴ Rockfish

¹⁵ Dornorn

¹⁶ The Master of Deceit

¹⁷ Devil-Fish

¹⁸ Lepu

¹⁹ Feryaleh

¹ Sting

² Envenomation

³ Lionfish

⁴ Pterois

⁵ Scorpaena

⁶ Synanceja

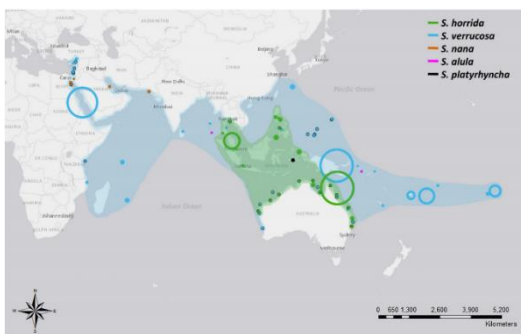
⁷ *Synanceia horrida*

⁸ *S. verrucosa*

⁹ *S. trachynis*

¹⁰ *S. nana*

جزایر مرجانی، دهانه رودخانه‌ها و پناهگاه‌های خلیج‌ها، اطراف گیاهان رنگی قدیمی در نزدیکی صخره‌ها ترجیح می‌دهند و در ماسه‌ها تمایل به استراحت دارند (۱۲ و ۴۱).



شکل ۲) توزیع پنج گونه مختلف سنگ‌ماهی از تیره سینانسیا. اندازه دایره صحت محل گزارش شده را نشان می‌دهد؛ به‌عنوان مثال، دایره بزرگ گزارش‌هایی را نشان می‌دهند که فقط نام کشور در آن آورده شده‌است و در حلقه‌های کوچک، محل دقیق گزارش‌ها بیان شده است (۳۹)

Fig 2) Distribution of five different species of stonefish from the genus *Synanceia*. Circle size represents the accuracy of the reported area; e.g., large circles show reports where only the country name was given, and in small circles, the exact locations of the reports are stated.

اطلاعات محدودی در مورد سیستم تولید مثلی سنگ ماهی وجود دارد. آن‌ها سبک زندگی مجردی دارند و تنها در زمان تولید مثل، تمایل به جفت شدن دارند. هر چند، جفت‌ها تک همسری نیستند و ممکن است دوباره با دیگری جفت گردند (۴۲). در این دوره، نرها تمایل به نشان‌دادن رنگ‌های شدیدتر دارند که ممکن است نشانه‌ای از آماده بودن برای جفت شدن با ماده‌ها باشد. این کار با یک رقص جفت‌گیری کوتاه شروع می‌شود که شامل تکان خوردن از چپ به راست و نوک‌زدن باله نرم است (۲۳ و ۴۲). یک سنگ ماهی حدود یک میلیون تخم‌گذاری می‌کند (۲۳ و ۲۴) که در خارج از بدن جانور در سطح مرجان‌ها یا بین برخی از سنگ‌ها بارور می‌شود (۴۲). نوزادان آن‌ها در آب رها و بسیاری از

در سواحل بوشهر - خلیج فارس مشاهده شده است (۳۶) و (۳۷) و مسئول علت صدمات دریایی در این منطقه است (۳۷).



شکل ۱) فریاله، یک سنگ ماهی صید شده در نواحی ساحلی بوشهر (خلیج فارس) (۳۶).

Fig 1) Faryaleh, a stonefish caught in the coastal areas of Bushehr (Persian Gulf) (36).

به‌طور کلی، گونه‌های تیره سینانسیا توزیع گسترده‌ای را در آب‌های کم عمق مناطق گرمسیری و معتدل هند-اقیانوس آرام دارند. نمونه‌هایی از سنگ‌ماهی سینانسیا وروکوزا در اوکیناوا صید شده است (۳۸)؛ سینانسیا وروکوزا (سنگ ماهی صخره‌ای)، با مشاهدات تأیید شده در سواحل ترکیه، موزامبیک، سریلانکا، سنگاپور، ژاپن و استرالیا و در سراسر جزایر اقیانوس آرام تا پلینزی فرانسه، گسترده‌ترین توزیع را دارد (۳۹). سینانسیا هوریدا نیز از اواسط تا شمال استرالیا و سراسر مالزی، اندونزی، سنگاپور، تایلند و فیلیپین پس از وروکوزا بیشترین توزیع دارد (۳۹). سنگ ماهی سینانسیا هوریدا در آب‌های هند و تا آفریقا نیز توزیع شده‌اند (۱۲). با این حال، برخی از گونه‌ها در رودخانه‌ها نیز زندگی می‌کنند (۲۳، ۲۴ و ۴۰). به نظر می‌رسد سینانسیا نانا به آب‌های خلیج فارس و دریاهای سرخ و عرب محدود شده باشد؛ در حالی که سینانسیا الولا و سینانسیا پلاتیرینکا فقط گاهی اوقات مشاهده شده‌اند (شکل ۲) (۳۹).

آن‌ها را می‌توان به‌صورت منزوی یا گروهی یافت (۱۲ و ۲۴)؛ اما آن‌ها آرامش را در آب‌های کم‌عمق در اطراف

آن‌ها طعمه ماهی‌های دیگر می‌گردند. از این میان، فقط تعداد کمی تا زمان بلوغ زنده می‌مانند (۲۳). سنگ‌ماهی با عمر طبیعی ۱۰-۵ سال، می‌تواند تا طول ۳۰-۴۰ سانتی‌متر رشد نماید (۲۴). تعداد محدودی از آن‌ها می‌توانند تا ۵۰ سانتی‌متر نیز برسند (۲۳). بزرگ‌ترین سنگ‌ماهی که تاکنون ثبت شده است، حدود ۵۱ سانتی‌متر طول داشته است (۲۴). در زمینه رنگ‌های خاکستری و قهوه‌ای روی پوست آن‌ها، لکه‌های قرمز،

نارنجی یا زرد وجود دارد (۲۳). آن‌ها می‌توانند تا ۲۴ ساعت خارج از آب زندگی کنند (۱۲، ۲۴ و ۴۰). عمده قربانیان این شناگر بسیار کم‌تحرك، ماهی‌ها و میگوهای کوچک هستند که در دهان باز جانور مترصد طعمه، گرفتار می‌گردند (۲۳). از طرفی، شکارچیان اصلی آن‌ها، کوسه‌ها و سفره ماهی‌ها، به‌ویژه کوسه‌های ببری و سفید هستند (۲۳ و ۲۴). برخی از ویژگی‌های مشترک سنگ‌ماهی‌ها در جدول ۱ ارائه شده است.

جدول ۱) برخی از خصوصیات عمومی سنگ‌ماهی‌ها (۲۴)			
ویژگی‌ها			
سینانستا الولا، سینانستا هوریدا، سینانستا نانا، سینانستا پلاتیرینکا، سینانستا وروکوزا			نام علمی
فرمانرو	انیمالیا	طول	۳۰-۴۰ سانتی‌متر، تا ۵۰ سانتی‌متر
شاخه	کروдата	وزن	حدود ۵ پوند
رده	اکتیونوپترژی ^{۲۰}	تغذیه	گوشت‌خوار، ماهی‌ها و میگوهای کوچک
راسته	اسکورپانینفورمس ^{۲۱}	طول عمر	۵ تا ۱۰ سال
خانواده	سینانستیده	طبیعت	زهرآگین، خطرناک و حتی مهلک برای انسان‌ها
جنس	سینانستا	مکان	سنگلاخ‌ها، صخره‌ها، شن و ماسه‌های نواحی ساحلی

اهمیت تجاری سنگ‌ماهی در آکواریوم و یا به‌عنوان حیوان خانگی در مقیاس وسیع در حال گسترش است (۲۴، ۳۸ و ۴۳) علاوه بر این، گوشت این ماهی‌ها در بازارهای هنگ‌کنگ به فروش می‌رسند (۲۴). همچنین، در ژاپن به‌عنوان بخشی از غذای گران‌قیمت ساشیمی^{۲۲} ارائه می‌گردد (۲۳، ۴۴ و ۴۵).

تلقیح زهر

گزش سنگ‌ماهی، یک علت شایع ایجاد گزش‌های شدید دریایی است (۴۶) و مسئول مرگ و میرهای متعدد و مسمومیت‌های شدید در انسان بوده است (۲۴ و ۴۷). آمار مطالعات مختلف بالینی گذشته‌نگر مربوط به گزش سنگ‌ماهی از بیمارستان‌های مختلف منطقه هند-

اقیانوس آرام نشان می‌دهد که بیشترین موارد در مردان جوان بالغ با مواجهات شغلی یا تفریحی در زیستگاه سنگ‌ماهی رخ داده است (۴۸-۵۰).

تلقیح ونوم توسط سنگ‌ماهی، برای ساکنان سواحل گرمسیری، گردشگران (۳۳)، آشپزها و ماهی‌گیران (۵۱)، به‌ویژه در پاهای شناگران و غواصان (۵۲ و ۵۳)، هنگامی که روی تیغ‌های پشتی آن‌ها پا می‌گذارند، تهدیدی جدی به‌شمار می‌آید (۳۳). یک حمله موفق‌آمیز، فقط حدود ۰/۰۱۵ ثانیه طول می‌کشد (۲۳)؛ این سیستم صرفاً جهت دفاع جاندار است (۱۲).

سنگ‌ماهی‌ها، مسئول یک‌سوم کل سمیت با ماهی‌ها در استرالیا، در سال ۲۰۰۸ (۵۴) و دومین ماهی از نظر گزش‌های انسانی در هنگ‌کنگ در سال ۲۰۱۰ بوده‌اند

²² Sashimi

²⁰ Actinopterygii

²¹ Scorpaeniformes

جدی ایجاد می‌کند و در واقع با اثرات مزمن نیز ممکن است اثرات کشنده رخ دهد.

یک سردرگمی این است که تشخیص گزش سنگ‌ماهی معمولاً به وجود زخم‌های سوراخ شده و ویژگی‌های بالینی و سیستمیک متعاقب آن، بستگی دارد. ندرتاً، جانور به مراکز پزشکی آورده می‌شود که این مانع شناسایی واقعی جانور زهرآگین می‌گردد (۵۷).

تا به امروز، هیچ مطالعه‌ای در مورد مقایسه یا تفاوت‌های اثرات ونوم گونه‌های مختلف سنگ‌ماهی، پس از آسیب، انجام نشده است و مشخص نیست که آیا اثرات زهر در آن‌ها متفاوت است یا خیر؟ (۳۹).

علاوه بر این، در این گزارش‌های موجود، نام عمومی سنگ ماهی و در برخی، فقط نام گونه آن‌ها، بدون ارائه هیچ مدرکی دال بر شناسایی دقیق، ذکر گردیده‌اند (۴۸). گرچه که پنج گونه از سینانستا، وجود دارد لکن دو گونه سینانستا هوریدا و سینانستا وروکوزا مورد مطالعه گسترده‌تری قرار گرفته‌اند. این گونه‌ها، زهرآگین‌ترین گونه‌های ماهی‌های جهان به‌شمار می‌آیند (۶۲).

سر سینانستا هوریدا، فرورفته و بزرگ است و متمایزترین ویژگی آن‌ها گودی عمیق زیر چشم‌های آن است. چشم‌ها بر روی ساقه‌های بلند قرار گرفته‌اند. تاج‌های آن‌ها بلند و بهم پیوسته است (۶۳). سر سینانستا وروکوزا پهن، بزرگ و افسرده مانند و چشم‌ها به‌صورت حاشیه‌ای در بالا قرار دارند (۶۳). هر دو گونه، شکارچیان کسل‌کننده و کندی هستند و غالباً بی‌حرکت نشسته و تا حدی در بستر دفن می‌شوند (۶۴).

گرچه گزارش‌های بالینی متعددی مربوط به گزش و آسیب ناشی از گونه‌های سینانستا از اواخر قرن نوزدهم در متون دیده می‌شود (۶۲) اما، مطالعات در مورد بیولوژی ونوم، شیمی و فارماکولوژی آن‌ها محدود بوده

(۴۹). آن‌ها، عامل بسیاری از گزش‌ها در سنگاپور محسوب می‌شوند (۵۵). نگرانی‌هایی وجود دارد که به دلیل افزایش دمای اقیانوس و افزایش گردشگری، تعداد گزش‌ها در ژاپن افزایش یابد (۵۰).

بر اساس گزارش اخیر انستیتوی بهداشت و رفاه استرالیا، حدود ۸۱ درصد از کل بستریان آسیب‌های ناشی از تماس با گیاهان و جانوران زهرآگین دریایی طی سال‌های ۲۰۱۷-۲۰۱۸ در بیمارستان، به سبب گزش ماهی بوده است که از ۳۲۰ مورد، تعداد ۳۰ مورد (۹/۳ درصد)، مربوط به صدمات مختلف فیزیکی و سیستمیک سنگ‌ماهی بوده است (۵۶).

بر اساس مطالعات، قربانیان معمولاً ظرف دو ساعت پس از گزش به دلیل درد شدید، به دنبال کمک‌های درمانی می‌روند (۴۸ و ۵۰). توصیه شده است که فرد مورد حمله قرار گرفته توسط سنگ ماهی، سریعاً تحت درمان‌های پزشکی قرار گیرد (۲۳ و ۴۳).

در اکثر موارد، این آسیب‌ها به‌عنوان یک عارضه خفیف در نظر گرفته می‌شوند و به‌طور متوسط قربانی را ساعت‌ها (۴۸) حتی روزها (۵۷)، در بیمارستان زمین‌گیر می‌کند. در موارد شدیدتر، بستری شدن در بیمارستان می‌تواند حتی تا بیش از یک هفته به‌طول انجامد (۵۰) و ممکن است در برخی موارد مداخلات جراحی لازم باشد (۴۸). سندرم کمپارتمان حاد^{۲۳} ناشی از ادم در قربانیان گزش سنگ‌ماهی‌ها گزارش شده است که ممکن است در برخی موارد اقدامات جراحی برای جلوگیری از آسیب عصبی دائمی (۵۸ و ۵۹) و قطع عضو به دلیل نکروز لازم باشد (۶۰). گزارش موردی مرگ یک پسر ۱۱ ساله پس از آسیب با سنگ‌ماهی در ناحیه پا در سال ۲۰۱۸ موجود است (۶۱)؛ بنابراین، باید پذیرفت که سنگ ماهی، علائم و آسیب‌های پاتولوژیک

²³ Acute Compartment Syndrome

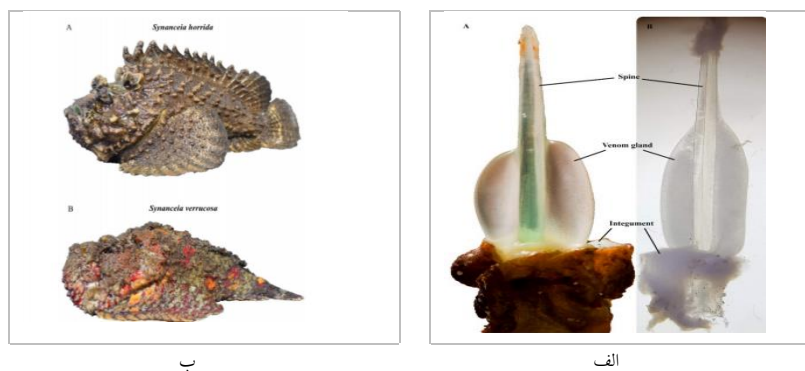
داشته باشند که در صورت برانگیختگی ماهی برپا می‌شوند (۶۳).

هر خار پستی به یک جفت غده زهری مرتبط است که توسط یک غلاف یکپارچه سست و ضخیم پوشانیده شده است (۶۷). ونوم از یک جفت غده در قاعده تیغ آزاد در امتداد شیارهای دو طرف ناحیه قدامی تیغ آزاد می‌شود (۱۰، ۶۶، ۷۰-۶۸). هر نیرویی که به‌طور عمودی بر روی خارهای پستی وارد گردد، قطعه‌ای از آن شکافته می‌شود و بافت اطراف غدد دوگانه زهر را فشرده و به‌طور غیر ارادی، ونوم را از طریق مجرای زهر نخاعی آزاد می‌کند (۶۷). هر جفت کیسه زهر پستی ۲، تقریباً ۱۰-۵ میلی‌گرم زهر خشک دارد (۱، ۳۲، ۵۱، ۷۱)؛ بنابراین، شدت علائم با تعداد تیغ‌های درگیر و عمق نفوذ تیغ‌ها مرتبط است (۱۲). دستگاه زهری برای نفوذ استاندارد حدود ۸ سانتی‌متری، کاملاً توسعه یافته است (۶۶). پس از تخلیه ونوم، چند هفته طول می‌کشد تا غدد دوباره با زهر پر گردند (۲۳).

و مکانیسم‌های عمل بیشتر آن‌ها هنوز نیاز به مطالعه دارد. خوشبختانه در این زمینه طی سال‌های اخیر به دلیل پیشرفت‌های تکنولوژی، زمینه‌های جدیدی برای مطالعه بر روی آن‌ها ایجاد گردیده است (۳۹).

آناتومی غده زهری

یکی از ویژگی‌های چشمگیر فیزیکی سنگ‌ماهی، خارهای پستی شیاردار آن است (شکل ۳). از این خارها صرفاً به‌عنوان مکانیسم دفاعی استفاده می‌شود زیرا هنگام تهدید شدن جانور، برپا می‌شوند (۶۵). به‌طور معمول، ارگان زهری سنگ‌ماهی، شامل ۱۲ تا ۱۳ خار پستی سوزن مانند با طول متوسط ۱۵ سانتی‌متر، دو تیغ لگنی و سه تیغ مقعدی پوشانیده با یک غلاف اصلی بیرونی است که به‌جز خارهای سینه‌ای تزئینی، سایر آن‌ها حاوی زهر هستند (۱، ۲۹، ۱۱، ۳۱، ۳۴، ۴۱ و ۶۶). سینانستا وروکوزا می‌تواند ۱۲ تا ۱۴ و سینانستا هوریدا، ۱۳ تا ۱۴ تیغ زهری پستی داشته باشد (۶۶). در مجموع، گونه‌های مختلف سینانستا می‌توانند تا ۱۵ خار پستی



شکل ۳) غدد زهری سینانستا. غده زهری خار دوم (طول‌ترین) سینانستا هوریدا (چپ)؛ غده زهری آخرین تیغ (کوتاه‌ترین) سینانستا وروکوزا (راست) زیر میکروسکوپ (الف)؛ نمایه‌های جانبی سنگ‌ماهی‌های سینانستا هوریدا (بالا) و سینانستا وروکوزا (پایین) (ب).

Fig 3) the *Synanceia* venom glands. The venom gland of the second spine (longest) *Synanceia horrida* (left); the venom gland of the last spine (shortest) *Synanceia verrucosa* (right) under a microscope (a); Side profiles of *S. horrida* (top) and *S. verrucosa* (bottom) (b).

توکسین‌ها و ترکیبات ونوم سنگ ماهی

مطالعات در مورد ونوم سنگ‌ماهی از دهه ۱۹۵۰ آغاز گردید؛ اما پس از آن مطالعات محدودی انجام شد تا این‌که در دهه ۱۹۸۰ میلادی، پس از سهولت دسترسی به جانور، چندین گروه علاقه‌مند به زهر، مطالعات بر روی آن را احیاء نمودند (۱۲ و ۱۴).

سستی ونوم، ویژگی اصلی زهر سنگ ماهی است. ونوم سنگ ماهی نسبت به تغییرات pH، دما، شرایط ذخیره‌سازی، لیوفیلیزاسیون، انجماد و ذوب مکرر، حساسیت زیادی را نشان داده است (۱۳ و ۷۲). علاوه بر این، گزارش‌هایی از تفاوت سمیت ماهی‌های مختلف وجود دارند (۷۳). در مطالعه ساجیومو (Saggiomo) و همکاران، ارتباط مشخصات زهر سینانستا هوریدا با رژیم‌های مختلف تغذیه‌ای جانور نشان داده شده است. تولید ونوم تحت تأثیر گرسنگی نیز قرار می‌گیرد (۷۴).

علاوه بر این، سایر متغیرهای بالقوه ممکن است بر ترکیب زهر تأثیرگذار باشند. عواملی نظیر موقعیت جغرافیایی، فصل، جنسیت و سن ماهی ممکن است نقش مهمی داشته باشند. هرچند هنوز هیچ‌یک از این موارد برای ونوم سینانستا بررسی یا مستنداً گزارش نگردیده‌اند. بسیاری از تلاش‌های اولیه در جهت خالص‌سازی زهر سنگ‌ماهی برای اهداف تجربی تا حد زیادی بی‌نتیجه بوده‌اند (۳۹). استخراج ونوم بر اساس روش‌هایی چون روش شفر (Schaeffer) و همکاران، (۷۵) و پوه (Poh) و همکاران، انجام گردیده‌اند (۴۳). پیشرفت در مطالعات ونوم ماهی همگام با بهبود و پیشرفت در فرایندهای جداسازی بیوشیمیایی و آنالیزهای مولکولی، به‌سرعت در حال حاصل شدن است (۳۹). به‌طور ویژه، ارتقاء

روش‌های فراکسیوناسیون، خالص‌سازی و جداسازی اجزاء توکسیک در زهرهای سینانستا نشان داده است که تقریباً تمام فعالیت‌های کشنده زهر، ممکن است فقط توسط چند توکسین ایجاد شده باشد (۴۳ و ۷۳). آنالیز ترانسکریپتوم غده زهر نشان داده است که در مجموع، ۵۹/۳ درصد پروتئین‌های زهر، هیچ‌گونه همسانی با پروتئین‌های موجود در پایگاه داده سوئیس پروت^{۲۵} نشان نمی‌دهند و ۴۰/۳ درصد آن نیز با ژن‌های خانه‌دار غیرتوکسیک مسئول نگهداری و عملکرد سلول‌ها مشابهت دارند و تنها ۰/۴ درصد آن‌ها نیز با اجزای شناخته شده ونوم‌ها همولوگ می‌باشند (۷۶). درصد مشابهت ترانسکریپتوم کامل غده زهر سینانستا هوریدا، در مقایسه با اجزای مفروض زهر نمونه‌های موجود در ترانسکریپتوم غدد زهری سایر گونه‌های زهرآگین مانند مارها (۲۷-۲۴ درصد) و عقرب‌ها (۵۳ درصد)، بسیار کمتر بود (۷۶).

این سهم نسبتاً کم خانواده توکسین‌های جانوری در زهر این سنگ ماهی، ممکن است با نقش دفاعی زهر در اکولوژی حیوان توجیه شود و همین تنوع کم توکسین‌ها (برای جلوگیری از تجاوز شکارچیان به آن‌ها) کفایت می‌کند (۷۶). به‌علاوه، تمایز و تعداد کم توکسین‌های موجود در ونوم را می‌توان با آسیب مکانیکی غده زهر در هنگام زهرگیری نیز توجیه نمود؛ در این هنگام، جانور ترجیح می‌دهد که به‌جای پروتئین‌های مسئول فعالیت‌های زهری، پروتئین‌های مورد نیاز برای بازسازی و ترمیم غده در معرض آسیب خود را تولید نماید (۷۶).

زهر سنگ‌ماهی از مخلوط پیچیده‌ای از پروتئین‌هایی مانند استونوستوکسین^{۲۶} (STNX) از سینانستا

²⁵ Swiss-Prot

²⁶ Stonustoxin

سنگ‌ماهی‌ها، بر روی اثرات عصبی، قلبی-عروقی، سمیت سلولی و درد در شرایط درون‌تنی و درون آزمایشگاهی متمرکز شده‌اند (۳۹).

استونوستوکسین و مکانیسم‌های عمل آن

استونوستوکسین (SNTX)، یک عامل کشنده پروتئینی دیمریک است که از ونوم سنگ‌ماهی سینانسا هوریدا جدا شده است (۱۴، ۴۳، ۶۹، ۷۷، ۸۵-۸۲).

بر اساس مطالعه خوو (Khoo) و همکاران، این بخش زیست فعال ونوم دارای وزن مولکولی تام ۱۴۸ کیلودالتون است و به ترتیب از دو زیر واحد α و β با اوزان ۷۱ و ۷۹ کیلودالتون تشکیل شده‌اند (شکل ۴). (۸۲). استونوستوکسین با pI برابر ۶/۹ می‌تواند تا ۹ درصد از کل پروتئین زهر خام را شامل شود و نشان داده شده که ۲۲ برابر سمی‌تر از زهر خام است (۴۳). این توکسین فوق‌العاده قوی دارای LD₅₀i.v. برابر ۱۷ نانوگرم بر گرم در موش می‌باشد (۴۳ و ۸۵).


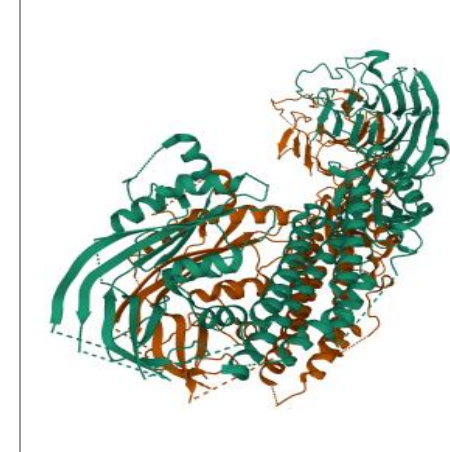
هوریدا (۴۳ و ۷۷)، وروکوتوکسین^{۲۷} (VTX) و نئووروکوتوکسین^{۲۸} (Neo-VTX) از سینانسا وروکوزا (۷۳)، تراکینیلین^{۲۹} (TLY) از سینانسا تراکینیس (۱۲ و ۷۸) و نیز فعال کننده قلب کاردیولپوتین^{۳۰} (۲۳)، تشکیل یافته است. پروتئین‌های آن‌ها دارای فعالیت‌های آنزیمی و غیرآنزیمی هستند (۹، ۱۴ و ۷۹). برخی فعالیت‌های آنزیمی شناسایی شده در ونوم شامل هیالورونیدازی، پروتینازی (شبه- ترومبینی)، فسفودی‌استرازی، فسفومونواسترازی قلیایی، آرژنین‌استرازی، آرژنین آمیدینازی، ۵- نوکلئوتیدازی و استیل کولین‌استرازی هستند (۱۲، ۲۵ و ۸۰). ونوم حساس به دما و با پروتئین‌های با وزن مولکولی بالا (۸۱)، در pH: ۶/۸ شیری رنگ می‌باشد (۴۳). به همین ترتیب، در ادامه این مطالعه، هر توکسین و نحوه عملکرد آن در صورت وجود، مورد بحث قرار گرفت. هرچند، اطلاعات مربوط به جزئیات ساختار، عملکرد و مکانیسم برخی از این پروتئین‌ها همچنان نامشخص است (۸۲). بیشتر مطالعات بر روی زهر

²⁷ Verrucotoxin

²⁸ Neo- Verrucotoxin

²⁹ Trachynilysin

³⁰ Cardioleputin

		<p>ساختار</p>
<p>MPSDILVVAA LGRPFTLGML YDARNDKLIP GFTLWEDEVI EESTLESSQP SSAFEIIASD STDDKSSLMD IEASLKASFL GGLVEVGSA KYLNNQKKFK NQSRVTLQYK ATTSFKQLMT NLGTKHVEYS ELFENIQATH VVIGILYGAN AFFVFDNSKV DSTNVQEIQQ QMEAVIKKIP SVEISGKASV QLTGEETDIT NSFSCFEHGD FFLTTNPTTF EDAVKTYQQL PQMMGKDNAV PMTVWLVPMV NFYSEAPQLM ADSSTPILRK VRNTLEAIVQ VQMRCDALD DPTVNLFTVEV QKLSDFQKI CDDHMSKLA TIAKKFAIR SGDEDESALL NLFEENLQSP FNIESLNMWM EFEEREINVL RSCMDILTKA KPKVIFNQGV LFGGLYDSKV KHALCYVFTN VTKNDVFLNV LNEFLDSPQS RPKKLRPSK DYWYSYDDIP ETMREKAYLF RNLAKEMNNR CVHFFVTAIH NPKQEGAGIH YYRESIQIID EFTKPYMPGV ESIK- DRRELQ WYDCELTLDP ETAHQVLTLS EGNK- KAVSGN TKSPTDHLEK FSHFQQVMCT KGLSGRHYWE LEWSGYVGAG VTYKGIGRKT STSDSSLGKN EKSWLFEYST KSGYQQIHNS KKTRVTVSST GFKLLGVYLD WPAGTSLFYM VNKAWVTHLH TFHTKFNEAV YPAFLIGDAQ QKVNQGKILL</p>	<p>MSSDLVMPAL GRPFTLGMLY DARREKLIPG FSLFGDETLQ KYQSSNAQRS SEFKIVASDS TESKSSAMDI EASLGVSFLG GLVEVGSAK YLNNTKKYQN QSRVTLKYKA TTVYKQFTAP PGTVTVQETA ITEKGLATHV VTSILYGANA FFVSDSDKVE DTNLQDIQGG MEAAIKKIPT ISIEGSASVQ LTDEEKSLAS NLSCKFHGDF LLESPLTTFE DAVKTYQTLP TLIGEDGANS VPMKVWLAPL KSYNSKAQQL IQEINVKVR RIHTTLEELH KLKRRANEAM DVKLVQRIPL IHDKISNFQQ IFQDYMLTVQ KKIAEKLPLV RAGTESEQL QKIIDDRAQS PFSNEKVSKW LDAVEREIAV LKSCAGMVEG TQAKFVSNQT EL- DREVLV GK VKHAVCFIFT SVERNDPYLK VLSDYWESP SNNAKDVAPS TEDKWCF- STE VVLKMQQRAQ TFCDHVNDFE KSRNVGFFIT ALENGKFQGA SIYYKEGSL ATQDFTFPRM PFVQGYKRS DLL- WYACDLT FDRNTINNWI SLSDNDFAA SEHGKRQNYK KHPERFVSFN QVLCNEGLMG KHYWEVEWNG YIDVGIAIY IPRKEIDFAS AFGYNTYSWV LSYNPKIGYI ERHKKREYNV RAPNPGFKRL GLFLDWRYGS ISFYAVSSDE VHHLHT- FKTK FTEPVYPAFS IGPAGNHGTL RLL</p>	<p>توالی</p>
<p>۷۰۰</p>	<p>۷۰۳</p>	<p>توالی طول</p>
<p>۷۹۴۲۵</p>	<p>۷۹۵۲۴</p>	<p>حجم زبر واحد (Da)</p>
<p>زبر واحد β</p>	<p>زبر واحد α</p>	<p>توکسین استونوس</p>
<p>UniProtKB - Q91453 (STXB_SYNH0)</p>	<p>UniProtKB - Q98989 (STXA_SYNH0)</p>	<p>رنگ</p>

شکل ۴) ساختار زبر واحدهای α و β استونوستوکسین و توالی‌های آن‌ها

Fig 4) Structure of α and β Stonustoxin subunits and their sequences.

تشکیل منافذ

مجموعه SNTX زهر سینانستا هوریدا، به‌ویژه یکی از بزرگ‌ترین توکسین‌های طبیعی است که تاکنون جدا شده و دارای فعالیت تشکیل منافذ است (۸۰). زیر واحدهای SNTX به ابرخانواده پرفورین^{۳۱} تشکیل‌دهنده منافذ تعلق دارند (۸۶). بر اساس مطالعه الیسدون (Ellisdon) و همکاران، هر پروتئین SNTX دارای چهار دامنه است؛ به‌طوری که، دامنه N-ترمینال با دامنه‌های تشکیل‌دهنده منافذ کمپلکس حمله غشایی-سیتولیزین وابسته به پرفورین یا کلسترول^{۳۲} (MACPF/CDC) مشابه است. پروتئین‌های ابرخانواده MACPF/CDC، به‌طور معمول رها هستند که نشان می‌دهد SNTX ممکن است در بافت‌های مختلف، منافذی را تشکیل دهد و احتمالاً نقشی اساسی در اثرات پاتولوژی و فیزیولوژیکی ناشی از SNTX داشته باشد (۸۶). پیشنهاد شده است که SNTX به‌طور برگشت‌ناپذیر به غشاء متصل می‌گردد و برای تغییر نفوذپذیری غشاء، مقدار مشخصی از این توکسین مورد نیاز است (۸۷).

نشان داده شده است که لیزین و آرژنین نقش اساسی در مکانیسم سیتولیتیک زهر دارند (۸۲). دو مکانیسم، "بشکه میله"^{۳۳} و "شبه فرش"^{۳۴}، برای تشکیل منافذ توسط پروتئین‌ها یا پپتیدهای سیتولیتیک توصیف شده است (۳۰ و ۸۸).

فعالیت‌های همولیتیک SNTX و زهر خام سینانستا

هوریدا

گزارش‌هایی مبنی بر فعالیت همولیتیک SNTX وجود دارد و نشان داده شده است که گروه‌های تیول آزاد، نقش مهمی در فعالیت همولیتیک و کشندگی توکسین دارند (۸۲). علاوه بر این، نشان داده شده است که فعالیت همولیتیک SNTX، با تشکیل منافذ آب‌دوست با قطر تقریبی ۳/۲ نانومتر مرتبط است (۸۰).

مطالعه بر روی فعالیت‌های بیولوژیکی زهر سینانستا هوریدا نشان داده است که زمان‌های لخته شدن کلسیفیکاسیون مجدد، لخته شدن پروترومین و کائولن سفالین به‌ترتیب ۱/۷، ۲/۳ و ۲/۴ برابر افزایش می‌یابند (۸۹). از مهم‌ترین علائم سمیت ناشی از سینانستا هوریدا، همولیز مختص به گونه‌ها و تجمع پلاکت است (۴۳، ۸۹ و ۹۰). در مطالعه کرگر (Kreger)، ونوم سنگ ماهی سینانستا هوریدا بر روی ۵ گونه از ۱۴ گونه جانوری مورد بررسی، به شدت لیتیک بود (جدول ۲) و زهر، بیشترین فعالیت را در برابر گلبول‌های قرمز خرگوش نشان داد (۷۸). زهر خام سینانستا هوریدا موجب هموراژی یا اثرات درمونکروتیک قابل ملاحظه‌ای در موش نمی‌شود اما فعالیت ضدانعقادی در خون خرگوش را دارا است (۸۹). علاوه بر این، زهر خام سینانستا هوریدا در حالت وابسته به دوز، از لخته‌شدن فیبرینوزن انسان در حضور کلسیم، جلوگیری می‌کند (۸۹). در مطالعه درون آزمایشگاهی خو و همکاران، هنگام بررسی اثرات SNTX بر روی خون کامل، مقداری همولیز و تجمع پلاکت در خون موش‌های صحرایی و خرگوش مشاهده شد (۹۰).

³¹ Perforin

³² The Membrane Attack Complex- Perforin/Cholesterol-Dependent Cytolysin

³³ Barrel-stave

³⁴ Carpetlike

جدول ۲) فعالیت‌های ویژه همولیتیک زهر سینانستا هوریدا و حساسیت نسبی آن‌ها در برخی گونه‌های جانوری بر اساس مطالعه کرگر (۱۹۹۱) (۷۸)		
گونه	حساسیت نسبی* (درصد)	میانگین (±SD) فعالیت ویژه** (HU/mg)
خرگوش	۱۰۰	۵۰۰۰±۸۰۰۰
سگ	۲۰	۱۰۰۰±۱۰۰۰
موش صحرائی	۱۸	۹۰۰±۱۰۰۰
خوک	۱۰	۵۰۰±۷۵۰
خوکچه هندی	۶	۳۰۰±۵۰۰
گوسفند	<۰/۱۰	<۵
گاو	<۰/۰۱	<۵
انسان	<۰/۰۱	<۵
میمون	<۰/۰۱	<۵
موش	<۰/۰۱	<۵
بز	<۰/۰۱	<۵
اسب	<۰/۰۱	<۵
بورو	<۰/۰۱	<۵
گرهه	<۰/۰۱	<۵

*در مقایسه با خرگوش؛ **مقادیر در وزن خشک

این گردید که فعالیت ضدانعقادی مشاهده شده ممکن است به‌جای اینکه مستقیماً با تجزیه فیبرینوژن مرتبط باشد، در بالادست آبشار لخته رخ داده است (۷۲). در مطالعه آن‌ها، آزمون‌های بیشتر نتوانستند مکانیسم عمل را کشف نمایند؛ اما هریس و همکاران پیشنهاد نمودند که ونوم ممکن است فسفولیپیدها را که موجب انعقاد خون می‌گردند تخریب نماید (۷۲).

فعالیت‌های همولیتیک ونوم سینانستا هوریدا در مطالعات دیگری نیز گزارش شده‌اند (۱۸، ۳۵، ۷۸ و ۸۳). در مطالعه دوهینگ و گوین (Duhig & Gwen)، زهر سینانستا هوریدا موجب لیز گلبول‌های قرمز خوکچه هندی، گوسفند و انسان گردید (۸۳). فریاله، سنگ‌ماهی خلیج فارس نیز دارای فعالیت همولیتیک می‌باشد (۳۶).

برای درک مکانیسم سمیت ونوم‌های سینانستا و عملکرد فراکشن‌های جدا شده آن‌ها، مطالعات غیرفعال‌سازی با SNTX انجام شده است. نشان داده شده‌است که فعالیت همولیتیک SNTX، توسط برخی از لیپیدهای آنیونی و

در مطالعه چرچ و هادسون (Church & Hodgson) نیز فعالیت همولیتیک یا انعقادی قابل ملاحظه‌ای در موش یا انسان مشاهده نشد؛ گرچه زهر سینانستا هوریدا موجب لیز سلولی در نوروئ‌های قشر مغز موش کشت داده شده گردید (۹۱). این فقدان فعالیت لیتیک در گلبول‌های قرمز موش، ممکن است نشان دهد که علت مستقیم مرگ در حیوانات آزمایشگاهی مربوط به همولیز نمی‌باشد (۴۳).

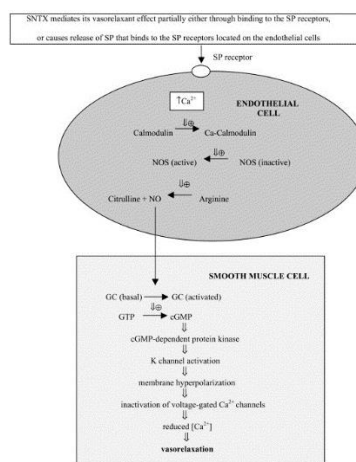
در مطالعه هریس (Harris) و همکاران، سنجش‌های ترومبولاستوگرافی با استفاده از زهر تازه و لیوفیلیزه سینانستا وروکوزا بر روی پلاسما‌ی انسانی کلسیم‌دار شده مجدداً انجام گردید (۷۲). اگرچه زهر تازه تأثیری در قدرت لخته‌شدن نداشت، اما خواص ضدانعقادی قابل ملاحظه‌ای را با تأخیر در زمان تشکیل لخته نشان داد. زهر لیوفیلیزه نیز فعالیت ضدانعقادی قابل توجهی نشان نداد (۷۲). سطوح فیبرینوژن نیز با تعیین قدرت لخته‌ارزیابی گردید؛ از آنجا که قدرت لخته تحت تأثیر قرار نگرفت، فرض بر

بر اساس نتایج مطالعه پوه و همکاران، استونوستوکسین در دوزهای در محدوده LD50 i.v. (۲۰-۵ میکروگرم/کیلوگرم) در موش‌های بیهوش، کاهش فشار خون شریانی بسیار چشم‌گیری را ایجاد می‌نماید. همچنین بر اساس مطالعه لو (Low) و همکاران، این فعالیت شل‌کنندگی عروقی از طریق یک مکانیسم وابسته به اندوتلیوم عمل می‌کند (۸۵). شل‌کنندگی وابسته به اندوتلیوم در پاسخ به SNTX مربوط به تشکیل گوانوزین مونوفسفات حلقوی (cGMP) است (۷۷ و ۸۵). استونوستوکسین موجب افزایش تولید NO شده و در نتیجه، اثر شل‌کنندگی عروقی آن از طریق آزاد شدن ماده P (SP) و یا تعامل با گیرنده‌های SP ایجاد می‌گردد. به دنبال تولید NO و افزایش سطح cGMP در سلول‌های عضلانی صاف، کانال‌های پتاسیمی حساس به کلسیم توسط پروتئین کیناز وابسته به cGMP فعال می‌گردند؛ به این ترتیب، این عمل می‌تواند موجب هایپریپولاریزاسیون غشای عضلانی و شل شدن عروق گردد (شکل ۵) (۹۵ و ۹۶).

اصلاح شیمیایی تریپتوفان، گروه‌های تیول و بقایای لیزین و آرژینین در پروتئین مهار می‌شود (۸۰، ۸۲ و ۹۲). فعالیت‌های همولیتیک و کشنده SNTX ممکن است از دامنه یا ناحیه مشابهی از پروتئین منشاء نگیرند (۹۲) زیرا فعالیت کشندگی پس از لیوفیلیزاسیون با تغییرات دما از بین می‌رود، اما فعالیت همولیتیک حفظ می‌گردد (۹۲) و فعالیت همولیتیک تولید شده توسط زهر سینانستا در برخی از جانوران با تشکیل منافذ غشای سلولی مرتبط است (۹۴).

اثرات قلبی عروقی SNTX

از مدت‌ها پیش، اثبات شده بود که ونوم جدا شده از سنگ ماهی‌ها موجب کاهش فشار خون قابل توجه شده و مشکلات تنفسی در جانوران قربانی و نیز مرگ و مسمومیت را در انسان ایجاد می‌کنند (۴۷ و ۷۷). علت اصلی مرگ در موش‌های بیهوش با تجویز SNTX ممکن است به افت شدید فشار خون نسبت داده شود (۸۵).



شکل ۵) مکانیسم پیشنهادی اثرات شل‌کنندگی عروقی استونوستوکسین، از طریق تعامل با گیرنده‌های SP در حلقه آئورتی موش صحرايي، بر اساس مطالعه سونگ (Sung) و همکاران (۷۷).

Fig 5) The proposed mechanism of vasorelaxant effects of SNTX through interaction with SP receptors in the endothelium-intact rat aortic ring, according to Sung et al. (77).

به‌طور غیرمستقیم، تولید NO را از طریق اتصال رقابتی مهارکننده NO سنتاز، گزانتین اکسیداز را در مخچه گاو افزایش می‌دهد که ممکن است نقش NO و شلی عضلانی ناشی از SNTX را توضیح دهد (۹۹).

مطالعه ساویات (Sauviat) و همکاران، نشان دادند که SNTX خالص، موجب آزادسازی استیل کولین از پایانه‌های عصبی دهلیزی در فیبرهای دهلیزی قورباغه شده و گیرنده‌های موسکارینی را به‌طور غیرمستقیم فعال می‌کند (۱۰۰). زهر بازسازی شده سینانستا هوریدا بسته به مدل سمیت و روش‌های تجویز، طیف وسیعی از اثرات را ایجاد می‌نماید. به نظر می‌رسد این ونوم، دارای اثرات میوتوکسیک قوی بر روی عضلات قلب، اسکلتی و غیرارادی باشد (۱۰۱). فلج عضلانی، همراه با دیسترس تنفسی و افت فشار خون در پی تزریق وریدی ونوم بازسازی شده در خرگوش‌های بیهوش، مشاهده شده است (۱۰۱). مرگ در چند ساعت یا چند روز رخ می‌دهد و به نظر می‌رسد که به‌دلیل فلج دیافراگم یا ایست قلبی باشد (۳۲ و ۳۳).

اثرات تنفسی SNTX و زهر خام سینانستا هوریدا

اعتقاد بر این است که SNTX مسئول ادم ریوی است (۴۱). نتایج مطالعات *in vivo* با استفاده از غلظت‌های نسبتاً پائین SNTX (۵ تا ۲۰ میکروگرم بر کیلوگرم)، به‌وضوح کاهش سریع و قابل توجه فشار خون و قطع تنفس، انقباض و جمع‌کنندگی عصب تحریک شده دیافراگم و عضله تیپالیس را نشان داده‌است (۸۵). در یک صدمه با سنگ ماهی، تنگی نفس و دیسترس شدید، خروج خلط خونی، سرعت تنفس ۶۰ و نیز نبض ۱۴۰ در دقیقه گزارش شده است (۲۹). استونوستوکسین در دوزهای بین

مطالعه دیگری نیز در تأیید این مکانیسم، نشان داده است که فراکشن کشنده SNTX از زهر سینانستا هوریدا، موجب ایجاد شل‌کنندگی وابسته به اندوتلیوم در عضله صاف عروقی موش صحرایی می‌گردد (۱۳). در مقابل، مطالعاتی وجود دارند که نشان می‌دهد SNTX مسئول فاز افزایش فشار خون مشخص در موش‌های بیهوش است (۷۳). بر اساس مطالعه هاپکینز (Hopkins) و همکاران، به نظر می‌رسد زهر بازسازی شده^{۳۵}، موجب پاسخ دو فازی در موش‌های بی‌هوش گردد که پاسخ اولیه فشار تا حدی توسط گیرنده‌های $\alpha 1$ آدرنژیک و گیرنده‌های لکوترین و پاسخ مهارکنندگی با $\beta 2$ آدرنژیک‌ها ایجاد می‌شود و یک اثر کلی افزایش فشار خون ایجاد می‌کند (۹۷). دلایل این تفاوت‌ها هنوز شناخته نشده است. مطالعات در شرایط آزمایشگاهی با استفاده از SNTX خالص بر روی حلقه‌های آئورت موش، فعالیت شل‌کنندگی رگی قوی را نشان داده است. همان‌گونه که اشاره گردید به نظر می‌رسد این اثر شل‌شدن عروق به واسطه یک مکانیسم وابسته به اندوتلیوم صورت گیرد که به احتمال زیاد توسط مسیر L-آرژینین-نیتریک‌اکسید سنتاز^{۳۶} تسهیل می‌شود (۸۵). هیدروژن سولفید درون‌زا (H_2S)، در هم‌افزایی با نیتریک‌اکسید (NO) (۸۴)، برای اتصال به گیرنده‌های نوروپپتیدی ماده P اندوتلیال، تولید NO و فعال نمودن کانال‌های پتاسیمی، عمل می‌کند و در نهایت سبب شلی عضله ناشی از SNTX می‌گردد (۷۷). علاوه بر این، مشخص شد SNTX دارای یک دامنه B30.2 است که در پروتئین‌های درون‌سلولی، میان غشایی چندگانه و ترشحاتی وجود دارد (۹۸ و ۹۹). هنری (Henry) و همکاران، نشان دادند که این دامنه،

³⁵ Reconstituted venom

³⁶ L-arginine-nitric oxide synthase

بر عملکرد عصبی عضلانی، احتمالاً نتیجه اثرات میوتوکسیک مستقیم **SNTX** در عضله است زیرا در پاسخ‌های انقباضی به استیل کولین، کارباکول و پتاسیم کلرید، کاملاً مهار می‌شوند. همچنین، نشان داده شد که **SNTX** با ایجاد انقباض در همی دیافراگم موش در حضور توبوکورارین، مستقیماً روی عضله عمل می‌کند. علاوه بر این، انسداد انقباضات ناشی از **SNTX** توسط دانتروئن سدیم که موجب بلوک قبل از فعال شدن پروتئین‌های انقباضی در عضله می‌شود، نشان می‌دهد استونوستوکسین مستقیماً روی پروتئین‌های عضلانی انقباضی عمل نمی‌کند (۱۰۳).

شواهد دیگری در دست است که زهر سینانستا میوتوکسیک است و احتمالاً سبب آسیب دائمی قابل مشاهده توسط میکروسکوپ الکترونی در اتصالات عصبی عضلانی در عضله اسکلتی می‌شود (۱۷).

علاوه بر این، در مطالعه مونیر (Meunier) و همکاران، مشخص گردید که **SNTX** ترشح کاتکول آمین‌ها را از سلول‌های نورواندوکرین از طریق یک آگزوسیتوز وابسته به کلسیم در وزیکول‌های هسته متراکم بزرگ در حضور کلسیم خارج سلولی، در سلول‌های کرومافین گاو افزایش می‌دهد (۱۰۴). نشان داده شد که این آگزوسیتوز وابسته به گیرنده پروتئینی پیوست پروتئین همجوشی حساس به N-اتیل‌مالیمید محلول^{۳۷} (**SNARE**)، مستقل از هجوم کلسیم از طریق کانال‌های کلسیمی ولتاژ فعال می‌باشد زیرا مهار کانال‌های نوع **L**، **N** و **P** یا **Q** حداقل منجر به یک تغییر در ترشح کاتکول آمین می‌گردد. آزمایش‌های فلورسانس درون‌سلولی نیز نشان داد که ترشح کاتکول آمین ناشی از **SNTX** به ذخایر کافی کلسیم نیاز دارد زیرا تخلیه کلسیم داخل

۵۰-۵۰ میکروگرم در میلی‌لیتر، عصب برانگیخته را مسدود و مستقیماً موجب پاسخ‌های انقباضی عضله همی دیافراگم موش و نیز القاء انقباض عضله دو سر سروسیس جوجه شده است (۸۵). در سایر مطالعات حیوانی، برخی اثرات مشاهده شده شامل انقباضات عضلانی سیستمیک، عدم تعادل، پارالیزی، افت فشار خون و مرگ ناشی از نارسایی‌های تنفسی و قلبی می‌باشند (۱۷، ۷۷، ۸۰، ۸۴ و ۸۵). نارسایی تنفسی مشاهده شده در سمیت تجربی سینانستا هوریدا، ممکن است به فعالیت کشنده ونوم سنگ ماهی کمک کند (۸۵). این نارسایی تنفسی، می‌تواند از فلج مستقیم عضله اسکلتی ناشی شود زیرا هدایت عصبی عضلانی از طریق اتصال عصب - دیافراگم فرنیک، حتی در هنگام توقف تنفس در خرگوش‌های بی‌هوش نیز مهار نمی‌گردد (۱۰۱).

اثرات عصبی - عضلانی **SNTX و زهر خام سینانستا هوریدا**
استونوستوکسین، یک ترکیب میوتوکسیک است و به‌طور برگشت‌ناپذیر در عملکرد عصبی - عضلانی، تداخل ایجاد می‌نماید (۱۴). در مطالعه تعیین اثرات عصبی - عضلانی ونوم خام سینانستا هوریدا توسط خو و همکاران، نشان داده شد که ونوم ممکن است جلوی سنتز ناقل‌های عصبی را بگیرد و در نهایت منجر به تخلیه ذخایر انتقال‌دهنده‌های عصبی گردد (۸۹).

تجویز زهر سینانستا هوریدا بر همی دیافراگم‌های استخراج شده موش، می‌تواند موجب انسداد عصبی عضلانی غیرقابل برگشت و سپس فلج تنفسی کشنده گردد (۱۰۲). بر اساس مطالعه لو (Low) و همکاران، استونوستوکسین به‌طور برگشت‌ناپذیر لرزش عصب و همچنین عضلات برانگیخته شده همی دیافراگم و دهانه رحم موش را مسدود می‌کند. این عمل مهار **SNTX**

³⁷ Soluble N-ethylmaleimide-sensitive fusion protein attachment protein receptor

ادم و اثرات پاسخ‌های التهابی ونوم سینانستا هوریدا مطالعات مختلف نشان داده‌اند که ونوم سینانستا هوریدا هنگام تجویز زیرپوستی در پاهای موش، موجب ادم می‌گردد (۷۸، ۷۹ و ۸۹). زهرهای خام سینانستا هوریدا و نیز سینانستا وروکوزا در مطالعات *in vivo* و در قربانیان سنگ ماهی موجب علائم التهاب تاندون و پاسخ‌های التهابی قوی گردیده‌اند (۶۱ و ۱۰۸).

تاکی‌کینین‌ها، مکانیسم عمل و برخی فعالیت‌های بیولوژیک شواهدی وجود دارد که ونوم سینانستا هوریدا موجب رهاسازی تاکی‌کینین‌های^{۴۴} درون‌زا می‌گردد. در مطالعه هاپکینز و همکاران، پاسخ‌های انقباض برونش ناشی از ونوم سینانستا هوریدا توسط یک آنتاگونیست گیرنده NK1 در خوکیچه‌های هندی بی‌هوش در شرایط آزمایشگاهی کاهش یافت (۹۷). آن‌ها قبلاً پیشنهاد داده بودند که این مسئله می‌تواند نشان دهنده عملکرد ونوم بر روی گیرنده‌های NK1 احتمالاً از طریق آزادسازی ماده^{۴۵} P (SP) باشد (۱۸). ماده P، یک ناقل مهم عصبی است که از پایانه عصب آزاد می‌شود و سیگنال‌های درد را از طریق سلول‌های ایمنی و سلول‌های مختلف غیر عصبی منتقل می‌کند (۱۰۹). همچنین، ممکن است ونوم موجب رهاسازی بیشتر محصولات درون‌زای سیکلواکسیژناز گردد که نقش مهمی در افزایش فعالیت‌های مدیاتورهای التهابی تولید کننده درد و استیل‌کولین دارند (۱۸).

سلولی با کافئین، تپسیگارژین^{۳۸} یا ریانودین^{۳۹} منجر به کاهش پاسخ کاتکول آمین ناشی از SNTX می‌شود (۱۰۴).

بسیاری از اثرات زهر سینانستا دارای روابط وابسته به زمان و دوز هستند. زهر سینانستا هوریدا در غلظت‌های بالا موجب دیپلاریزاسیون دائمی فیبرهای عضلانی و در غلظت‌های کم، موجب رهاسازی و تخلیه گسترده انتقال‌دهنده‌های عصبی در نمونه‌های عصب-عضله قورباغه می‌شوند (۱۷).

مقایسه ونوم سینانستا با سایر توکسین‌های جانوری مانند α -لاتروتوکسین^{۴۰} عنکبوت جنس لاتروتوکتوس^{۴۱} با فعالیت انسداد عصبی عضلانی مشابه، از طریق آزادسازی و تخلیه ناقل‌های عصبی از انتهای عصب، نشان داده است که زهر سینانستا موجب دیپلاریزاسیون عضلانی و آسیب میکروسکوپی عضلانی متفاوت می‌شود (۱۰۵). هر چند، زهر سینانستا عملکرد پارداکسین‌ها را تقلید می‌کند؛ پارداکسین‌ها، توکسین‌هایی هستند که در ترشحات غدد باله پشتی و مقعدی پارداچیروس پاوونینوس^{۴۲} کف اقیانوس آرام و پارداچیروس مرموراتوس^{۴۳} دریای سرخ وجود دارند. آن‌ها در غلظت‌های کم به‌عنوان یک نوروتوکسین پیش‌سیناپسی عمل می‌کنند و در غلظت‌های بالا موجب آسیب‌های شدید فیبرهای اسکلتی عضلانی می‌شوند (۱۰۶ و ۱۰۷). گزارش شده است که رهاسازی ناقل‌های شیمیایی ناشی از زهر سنگ ماهی، شامل کانال‌های سدیم ولتاژدار (NaV) نمی‌شود (۱۷).

³⁸ Thapsigargin

³⁹ Ryanodine

⁴⁰ α -latrotoxin

⁴¹ Latrodectus

⁴² *Pardachirus pavoninus*

⁴³ *P. marmoratus*

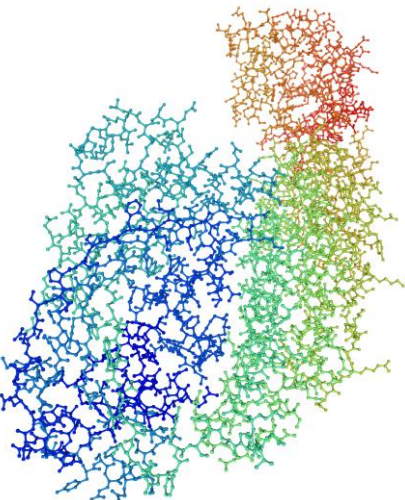
⁴⁴ Tachykinins

⁴⁵ Substance P

وروکوتوکسین، مکانیسم عمل و برخی فعالیت‌های بیولوژیک آن

وروکوتوکسین (VTX)، یک گلیکوپروتئین تترامریک با وزن مولکولی ۳۲۲ کیلودالتون، متشکل از دو زیر واحد α (هر یک ۸۳ کیلودالتون) و دو زیر واحد β (هر

یک ۷۸ کیلودالتون) می‌باشد (شکل ۶) (۳۴ و ۱۱۰). مشخص گردیده است که cDNA برای زیر واحد بتای VTX دارای یک توالی N-ترمینال یکسان با همسانی ۹۶ درصدی با یک بخشی از توالی ۵۰۶ اسید آمینه‌ای زیر واحد بتای SNTX سینانسا هوریدا است (۱۲، ۳۴، ۱۱۱ و ۱۱۲).

	<p>ساختار</p>
<p>MPSDILVVAALGRPFTLGMLYDARNDKLIPGFTLWEDEVI EESTVESSQPSSAFEIIASD SIDDKSSLMEIEASLKASFLGGLVEVGGSAYLNNQKKFKNQRVTLOQYK ATTNFKQLMTNLGTKHVEYS ELFENIQATHVIGILYGANAFFVFDNKNV DSTNVQEIQQMEAVIKKIP SVEISGKASV QLTSEETDITNSFSCEFHDGFFLTSNPTTF EDAVKTYQQLPQMMGKDNAV PMTVWLVPVNFYSEAPQLMADSSTPILRK VRNTLEAIVQVQMRCNDALD DPTVNLTFEVQKKLSDFQIICDDHMSKLQA TIAKKLFAIRSGDEDESALVNLFEENLQSPFNTESLNMWMEFEEREINVL KSCMDILTKAKPKVIFNQGV LFKELYDSKV KHGLCYVFTN VTKNDDFLTV LNDFLDSPQSRPKKLRPSPKDYWYSYDDIP EMMREKAHLFRNLAKEMNNR CVHFFVTAINPKQEGAGIHYRESIQIIEFTKPHMPGVETIKDRRELQWYDCELTLDT ETAHQVLTLS EGNKRQCRGV RVTRRSREFSHFQQVMCHQGAEWTPLLGV RVAGHVSAGV TYKGISRKTS TPDSSLGKNQKSWVFEYTKKSGYQQIHNGK NARVTVSSIGFKQLGVYLDWPAGTLSFYIGQQSLGDSSPHLPHQILRGCL SSLPDWGCTTESQWSN</p>	<p>توالی</p>
<p>۶۹۶</p>	<p>طول</p>
<p>۷۸۸۴۹</p>	<p>جرم زیر واحد (Da)</p>
<p>زیر واحد β</p>	<p>وروکوتوکسین</p>
<p>UniProtKB - Q98993 (VTXB_SYNVE) **ساختار زیر واحد α وروکوتوکسین یافت نگردید</p>	<p>منبع</p>

شکل ۶) ساختار زیر واحد β وروکوتوکسین و توالی آن

Fig 6) The structure of the Verrucotoxin β -subunit and its sequence.

را می‌توان در ریه موش پس از تزریق عضلانی زهر خام سینانستا وروکوزا مشاهده کرد (۱۱۷). گیرنده‌های جفت‌شده با پروتئین G^{46} (GPCR)، یکی از بزرگ‌ترین خانواده‌های پروتئین‌های غشایی هستند. این خانواده، واسط اکثر پاسخ‌های فیزیولوژیکی، از جمله انتقالات عصبی و پاسخ‌های هورمونی است (۱۱۸). به نظر می‌رسد ونوم سینانستا وروکوزا بر روی چندین GPCR عمل می‌کند. در مطالعه یازاوا (Yazawa) و همکاران، وروکوتوکسین، موجب طولانی شدن مدت زمان پتانسیل عمل، بدون تغییر در پتانسیل استراحت غشا، در میوسیت‌های بطنی خوکچه هندی گردید. این توکسین، جریان $I_{Ca(L)}$ را در حالت وابسته به دوز افزایش داد. اثر VTX بر روی $I_{Ca(L)}$ ، توسط آنتاگونیست‌های گیرنده β آدرنرژیک یا مهارکننده‌های PKA مهار گردید. نتایج مطالعه آن‌ها نشان داد که مدولاسیون کانال‌های یونی VTX با مسیر β -آدرنوسپتور-CAMP- PKA^{47} مرتبط است (۳۴). در مطالعه آن‌ها، هنگام بررسی اثرات ونوم بر میوسیت‌های بطنی خوکچه هندی، VTX با تحریک مسیر β آدرنوسپتور-آدنوزین مونوفسففات حلقوی - پروتئین کیناز A حلقوی (cAMP-PKA)، موجب تعدیل کانال‌های یونی شد (۳۴). هنگام تحریک توسط پیوند آگونیست، این گیرنده β -آدرنرژیک منجر به افزایش تولید cAMP از طریق تفکیک پروتئین G و فعال‌سازی آدنیلیل سیکلاز می‌گردد. سیگنالینگ cAMP سپس PKA را فعال و موجب فسفوریلاسیون چندین پروتئین در پایین دست این آبشار، از جمله کانال‌های کلسیمی نوع L می‌شود که موجب ایجاد یک اثر اینوتروپیک در کاردیومیوسیت‌ها می‌گردد (۱۱۹)؛

در حالی که نشان داده شده است زهر خام سینانستا وروکوزا در فیبرهای ایزوله دهلیزی قورباغه، ایجاد پاسخ‌های اینوتروپیک و کرونوتروپیک مثبت می‌نماید، ترکیبات جدا شده از زهر سینانستا وروکوزا طیف وسیعی از واکنش‌ها را در شرایط درون‌تنی و برون‌تنی تولید می‌کند (۱۱۳). بر اساس مطالعه گارنیر (Garnier) و همکاران، VTX خالص موجب کاهش فشار خون وابسته به دوز در موش‌های بیهوش و نارسایی قلبی و تنفسی در موش‌ها در شرایط *in vivo* می‌گردد (۷۳). در مقابل، مطالعه *in vitro* آن‌ها نشان داد که هر دو توکسین VTX و p - VTX ، اثرات اینوتروپیک و کرونوتروپیک منفی را در دهلیز قورباغه ایجاد می‌نمایند و فرض گردید p - VTX کانال‌های پتاسیمی را در طول سیکل قلبی باز می‌کند و مقدار ورود کلسیم به سلول را از طریق مهار رقابتی جایگاه‌های اتصال کلسیم کاهش می‌دهد (۱۱۴).

وروکوتوکسین ظاهراً جریان‌های $KATP$ را به صورت مستقل از ولتاژ و وابسته به دوز در میوسیت‌های بطنی خوکچه هندی مهار می‌کند (۱۱۵). دلیل این اختلاف بین تأثیرات VTX بر قلب‌های قورباغه و خوکچه هندی مشخص نیست، اما ممکن است این دو گونه، دارای مسیرهای مختلف تنظیم‌کنندگی $KATP$ باشند (۱۱۵)، زیرا به نظر می‌رسد تفاوتی بین گیرنده‌های β_1 یا β_2 آدرنرژیک پستانداران و گیرنده‌های β -آدرنرژیک دهلیز دوزیستان وجود داشته باشد (۱۱۶). در زهر سینانستا وروکوزا، تنفس نامنظم یا ضعیف مشاهده می‌شود و در صورت تجویز دوزهای کشنده زهر خام یا VTX در موش‌های بیهوش، اغلب با قطع تنفس ادامه می‌یابد (۷۳). به‌علاوه، فعالیت پاتولوژیک

⁴⁶ G-Protein-Coupled Receptors

⁴⁷ β -adrenoceptor-CAMP-PKA pathway

آدنوزین یا گیرنده‌های $\alpha 1$ -آدرنرژیک، جریان KATP را مهار نماید. در عوض، قویاً پیشنهاد شد که VTX مسیر گیرنده M_3 -پروتئین کیناز C (PKC) را فعال می‌کند (۱۱۵).

چندین مطالعه مختلف دیگر نیز مکانیسم عملکرد VTX را روی گیرنده‌ها و کانال‌های یونی مورد بررسی قرار داده‌اند (۳۴، ۱۱۱ و ۱۱۳). در یک مکانیسم پیشنهادی مشترک در مطالعات متفاوت گارنیر و همکاران و یازاوا و همکاران، VTX موجب فعال‌سازی گیرنده‌های β -آدرنرژیک گردید. مشخص شده است که این تحریک، کانال‌های پروتئین کیناز A (PKA) و فسفوریلات Ca^{2+} را فعال و سپس موجب افزایش غلظت کلسیم داخل سلولی می‌گردد. این افزایش ممکن است یک توجیهی برای اثرات قلبی VTX باشد. علاوه بر این، غلظت بالای کلسیم می‌تواند منجر به آریتمی گردد یا پروتئازهای فعال با کلسیم را فعال نماید (۳۴ و ۱۱۰).

بر اساس مطالعات، VTX برای موش کشنده است، گلوبول‌های قرمز شسته شده خرگوش را لیز کرده و موجب کاهش فشار خون می‌گردد (۱۲ و ۷۳). همچنین بیان گردیده است که VTX، ممکن است کانال‌های پتاسیمی حساس به ATP را فعال نماید (۳۴، ۱۱۰ و ۱۱۱). در مطالعه خو و همکاران، VTX کانال‌های کلسیمی را مهار و کانال‌های پتاسیمی حساس به ATP را در عضله دهلیز قلب قورباغه فعال نمود (۱۲).

بر اساس مطالعه یازاوا و همکاران، نئوروکوتوکسین سنگ ماهی همچون VTX، می‌تواند به‌عنوان یک آگونیست گیرنده $\beta 1$ آدرنرژیک عمل نماید و مشابه با VTX، قادر به مهار کانال‌های کلسیمی و نیز فعال‌سازی کانال‌های پتاسیمی حساس به ATP در عضله دهلیز قلب قورباغه شود (۳۴). زهر وروکوزا موجب مشکلات قابل توجهی در جانور مورد گزش می‌گردد (۴۷ و ۷۷).

هرچند، آستین (Austin) و همکاران، مشخص نموده بودند که زهر سینانستا هوریدا، اثرات میوتوکسیک غیراختصاصی دارد (۱۰۱).

در چندین مطالعه نشان داده شده است که توکسین VTX جدا شده از زهر سینانستا وروکوزا، همچون SNTX سینانستا هوریدا، مسئول فاز افزایش فشار خون مشخص در موش‌های بیهوش است (۱۳، ۷۳ و ۸۵). همچنین، دیده شده است که VTX نیز مانند SNTX و همچنین زهرهای خام سینانستا هوریدا و سینانستا وروکوزا، عملکردهای لیتیک قوی را بر خون رقیق شده و گلوبول‌های قرمز شسته شده انواع گونه‌های مختلف پستانداران نشان درد (۴۳، ۷۳، ۷۸ و ۸۹).

در مطالعه چرچ و هادسون، هنگام مواجهه شرابین کروئر خوک با ونوم، انقباض مستقل از اندوتلیوم شبه کولینرژیک مشاهده شده است. داروی آنتی موسکارینیک آتروپین، قادر به مهار این اثر بود و این فرضیه "زهر سینانستا بر گیرنده‌های موسکارینی عمل می‌کند" را پشتیبانی می‌کند (۱۳).

با توجه به آنچه در مورد گیرنده‌های موسکارینیک و اثرات فیزیولوژیکی فعال‌سازی آن‌ها مشخص شده است، پاسخ‌های مشاهده شده در مدل‌های تجربی و گزارش‌های بالینی نشان می‌دهند که فعالیت موسکارینیک، ارتباط قابل توجهی در پاتوفیزیولوژی قلب و عروق تلقیح زهر سینانستا دارد. بر اساس برخی مطالعات، VTX می‌تواند گیرنده‌های موسکارینی را تحریک و جریان‌های کلسیمی را فعال نماید که منجر به آریتمی و هیپوکسی شده و از فعال‌سازی جریان‌های محافظت کننده قلب KATP جلوگیری نماید و موجب کلاپس قلب و عروق گردد (۳۴ و ۱۱۵).

در مطالعه وانگ (Wang) و همکاران، اظهار گردید که به نظر نمی‌رسد VTX از طریق فعال‌سازی گیرنده‌های

مطالعه اخیر هریس، در سال ۲۰۲۱، فعالیت زهر خام تازه و لیوفیلیزه سینانستا وروکوزا را روی میموتوپ‌های گیرنده‌های استیل کولینی نیکوتینیک (nAChRs)، از چهار گونه مختلف مورد بررسی قرار داد (۷۲). زهر تازه قادر بود به تمام میموتوپ‌ها متصل گردد در حالی که این فعالیت، در زهر لیوفیلیزه به‌طور قابل توجهی کاهش یافت (۷۲). این اتصال نشان داد که ونوم سینانستا وروکوزا ممکن است بر روی گیرنده‌های nAChR پس‌سیناپسی عمل کند که با نتایج مطالعه پیشین چرچ و هادسون، در مورد نمونه‌های عصب دو سر سروسیس جوجه با استفاده از زهر سینانستا هوریدا سازگار است (۱۳). این تفاوت بین فعالیت‌های زهر لیوفیلیزه و تازه می‌تواند به دلیل اندازه توکسین‌های مسئول اتصال nAChR باشد که به احتمال زیاد ناپایدار و بزرگ است (۷۲). آزمایش‌های بیشتر بر روی میموتوپ‌های کانال کلسیمی CaV1.2 نوع L پستانداران با دامنه I-IV (DI-DIV)، با استفاده از تداخل‌سنج زیست‌لایه^{۴۹} (BLI) نشان داد که زهرهای لیوفیلیزه و تازه فقط به DIV متصل می‌شوند که نشان دهنده این است که توکسین‌های مسئول این فعالیت ویژه ممکن است پپتیدهای کوچک یا یک مولکول از نوع آمین باشند که نسبت به مولکول‌های پروتئینی یا آنزیمی پایدارتر هستند (۷۲). این نتایج، همچنین مطالعات قبلی را که فعال شدن کانال‌های کلسیمی توسط زهر سینانستا را نشان می‌داد، تأیید می‌نماید (۳۵ و ۱۱۴). غلظت زیاد زهر موجب آسیب‌های عضلانی و عصبی، تورم انتهای عصب بدون هیچ وزیکول مشخص سیناپسی شده است (۱۷).

نو- وروکو توکسین

نو- وروکو توکسین (NeoVTX)، یک پروتئین دیمری ۱۶۶ کیلودالتونی، از سینانستا وروکوزا خالص‌سازی شده

در مطالعه ساندرز (Saunders) و همکاران، دوزهای متوسط زهر سنگ ماهی سینانستا وروکوزا موجب کاهش فشارخون، افزایش میزان تنفس و آسیب میوکارد در خرگوش گردید. در دوزهای کشنده، کاهش بسیار شدید فشار خون و سپس توقف تنفسی رخ داد (۳۲). بر اساس مطالعه لهن و هاردی (Lehmann & Hardy)، زهر موجب افزایش قابل توجه نفوذپذیری عروق و در نتیجه ادم ریوی در حیوانات آزمایشگاهی می‌گردد (۲۹).

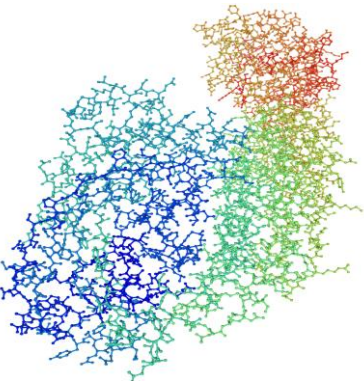
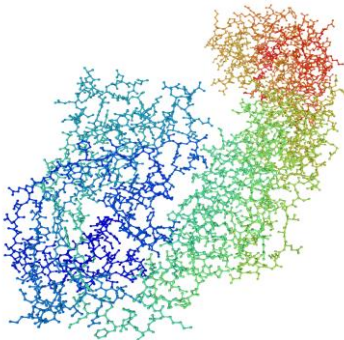
برتون (Breton) و همکاران، اثرات نوروکسیک زهر سینانستا وروکوزا را در جوندگان مورد بررسی قرار دادند. در مطالعه آن‌ها مشخص گردید که VTX، قادر به ایجاد برخی اختلالات عصبی از جمله فلج، صرع و تشنج می‌باشد که توسط پروپرانولول مهار نمی‌شود (۱۲۰). پس از تزریق داخل جمجمه‌ای ونوم سینانستا وروکوزا در موش‌ها (۱۲۵-۵۰ نانوگرم بر گرم)، علائم ثابتی نظیر آتاکسی، چرخیدن، فلج برگشت پذیر اندام‌ها، خارش، غلتیدن، رفتارهای دوره‌ای خواب مانند و تشنج شدید کلونیک در چند ثانیه، تا مرگ مشاهده گردید. تغییرات EEG، در مغز موش، پس از تزریق داخل بطن مغزی^{۴۸} (۱۰۰-۵۰ میکروگرم)، مشاهده شد (۱۲۰). گارنیر و همکاران، شواهدی برای فعالیت انسداد کانال کلسیمی با VTX، جزء کشنده زهر سینانستا وروکوزا را ارائه نمودند (۱۱۰). گزارش‌هایی موجود است که غلظت‌های زیاد زهر خام سینانستا تراکینیس (۳۰۰-۱۰۰ میکروگرم در میلی‌لیتر)، موجب ایجاد آسیب‌های عصبی و عضلانی می‌شوند (۱۳ و ۸۵) که این آسیب‌ها در زیر میکروسکوپ الکترونی قابل مشاهده هستند (۸۵). غلظت بالای زهر (۳۰۰ میکروگرم بر میلی‌لیتر)، در مطالعه کرگر و همکاران، سبب آسیب شدید به اعصاب عضلانی گردید (۱۷).

⁴⁸ Intracerebroventricular

⁴⁹ Biolayer Interferometry

ویژگی‌های آن به‌طور قابل توجهی با VTX متفاوت است (شکل ۷) (۳۴ و ۱۲۱).

است. با وجود مطابقت حدود ۹۰ درصدی توالی بین زیر واحدهای بتای NeoVTX و VTX، اما برخی

		<p>ساختار</p>												
<pre>MSSDLVMPAL GRPFTLGMLY DTRREKLIPG FSLFGDETLQ QYQSSNTQRS SEFKIVASDS TESKSSAMDI EASLGVSFLG GLVEVGGSAK YLNNTKKYQN QSRVTLKYKA TTIYKQFTAP PGTVKVQETV ITQRGLATHV VTGILYGANA FFVFDSDKVE DTNLQDIQ GK MEAVIKKIPT ISIEGSASVQ LTDEEKSLAS NLSCKFHGDF LLESPLTTFE DAVTTYQTL P TLLGEDGASA VPMKVWL VPL KKFFSKAKLL TQEITVSKVR RIHTTLEELY KLKRRANEAM DDKLVQIPL IHDKISNFHQ IFQDYMLTVQ KKIAEKLPLV RAGTESEQSL QKIIDRAKS PFSNENVSTW LEVIEREIAV LKSCAGMVEG TQAKFVSNQT ELDREVLAE D VKHALCFVFT SVERNDPYLK VLSDYLESPD SKDGKEAVPS TEDKWC FSTR VVLKMKQRAQ TFCDHVNDFE KSRNVGFFVT ALENGKFQGA SIYHYKDGSL ATQDFTFPRM PFVQGYKKRS DLLWYACDLT FDRNTINIWV SLSDNDFAA SEHGKRQNY P KHPERFLCYN QVLCNEGLTG KHYWEVEWNG YVDVGVAYIS ISRKEDNWVS AIGHNTCSWV FSSIPRAGYV ERYNQRY YV TVPTPGFKQL GVFLNWPDGS LSFYAVSSDE VHHLHTFKTK FTEPVYPAFC LGYRFDHGTV RLL</pre>	<pre>MSSDLVMPAL GRPFTLGMLY DTRREKLIPG FSLFGDETLQ QYQSS- NTQRS SEFKIVASDS TESKSSAMDI EA- SLGVSFLG GLVEVGGSAK YLNNTKKYQN QSRVTLKYKA TTIYKQFTAP PGTVKVQETV ITQR- GLATHV VTGILYGANA FFVFDSDKVE DTNLQDIQ GK MEAVIKKIPT ISIEG- SASVQ LTDEEKSLAS NLSCKFHGDF LLESPLTTFE DAVTTYQTL P TLLGEDGASA VPMKVWL VPL KKFF- SKAKLL TQEITVSKVR RIHTTLEELY KLKRRANEAM DDKLVQIPL IHD- KISNFHQ IFQDYMLTVQ KKIAEKLPLV RAGTESEQSL QKIIDRAKS PFSNEN- VSTW LEVIEREIAV LKSCAGMVEG TQAKFVSNQT ELDREVLAE D VKHALCFVFT SVERNDPYLK VLSDYLESPD SKDGKEAVPS TEDKWC F- STR VVLKMKQRAQ TFCDHVNDFE KSRNVGFFVT ALENGKFQGA SIYHYK- DGSL ATQDFTFPRM PFVQGYKKRS DLL- WYACDLT FDRNTINIWV SLSDNDFAA SEHGKRQNY P KHPERFLCYN QVLCNEGLTG KHYWEVEWNG YVDVGVAYIS ISRKEDNWVS AIGHNTCSWV FSSIPRAGYV ERYN- QRQYYV TVPTPGFKQL GVFLNWPDGS LSFYAVSSDE VHHLHTFKTK FTEPVYPAFC LGYRFDHGTV RLL</pre>	<p>توالی</p>												
<table border="1"> <tr><td>۷۰۳</td></tr> <tr><td>۷۹۶۷۰</td></tr> <tr><td>زیر واحد β</td></tr> <tr><td>UniProtKB - A0ZSK4 (STXB_SYNVE)</td></tr> </table>	۷۰۳	۷۹۶۷۰	زیر واحد β	UniProtKB - A0ZSK4 (STXB_SYNVE)	<table border="1"> <tr><td>۷۰۳</td></tr> <tr><td>۷۹۶۷۰</td></tr> <tr><td>زیر واحد α</td></tr> <tr><td>UniProtKB - A0ZSK3 (STXA_SYNVE)</td></tr> </table>	۷۰۳	۷۹۶۷۰	زیر واحد α	UniProtKB - A0ZSK3 (STXA_SYNVE)	<table border="1"> <tr><td>طول توالی</td></tr> <tr><td>جرم زیر واحد (Da)</td></tr> <tr><td>نئوروکوتوکسین</td></tr> <tr><td>منبع</td></tr> </table>	طول توالی	جرم زیر واحد (Da)	نئوروکوتوکسین	منبع
۷۰۳														
۷۹۶۷۰														
زیر واحد β														
UniProtKB - A0ZSK4 (STXB_SYNVE)														
۷۰۳														
۷۹۶۷۰														
زیر واحد α														
UniProtKB - A0ZSK3 (STXA_SYNVE)														
طول توالی														
جرم زیر واحد (Da)														
نئوروکوتوکسین														
منبع														

شکل ۷) ساختار زیر واحدهای α و β نئوروکوتوکسین و توالی‌های آن‌ها.

Fig 7) The structure of the α and β subunits of Neo- Verrucotoxin and their sequences.

کاردیوپلوتین، نحوه عملکرد و برخی فعالیت‌های بیولوژیک

در مطالعه ابه (Abe) و همکاران، ترکیب فعال قلبی کاردیوپلوتین، از پروتئین آبی ۵۰ سنگ ماهی سینانستا وروکوزا جداسازی گردید و یک باند واحد را نشان داد. وزن مولکولی کاردیوپلوتین توسط SDS-PAGE، برابر ۴۶ کیلودالتون و با ترکیب اسید آمینه حدود ۴۶/۳ کیلودالتون برآورد گردید (۳۵). در مطالعه آن‌ها، تجویز کاردیوپلوتین به دهلیزهای خوکچه هندی، موجب افزایش سریع پاسخ انقباضی و افزایش متوسط ضربان قلب گردید. در بررسی اثرات کاردیوپلوتین بر دهلیزهای خوکچه هندی، اثرات اینوتروپیک و کرونوتروپیک مثبت برگشت‌ناپذیر مشاهده گردید که عدم فعالیت فسفولیپازی A₂ و همچنین یک عملکرد احتمالی روی کانال‌های کلسیمی غشای دهلیزی را پیشنهاد نمودند (۳۵).

پروتئین کاردیوتوکسیک کاردیوپلوتین، از گلیسین، سرین و گلوکزآمین با چند آمینو اسید بازی و فاقد سیستمین تشکیل شده است. مشابه زهر خام، سمیت کاردیوپلوتین می‌تواند در دماهای بالا و همچنین در هنگام رقیق و ذوب شدن یخ، از بین برود (۳۵).

Con A-II و Con A-I و برخی فعالیت‌های بیولوژیک

بر اساس مطالعه کالویت (Calvete) و همکاران، دو فراکشن Con A-II و Con A-I از زهر خام سینانستا وروکوزا دارای فعالیت‌های هماگلوتیناسیون و میتوزنیک بودند؛ به طوری که Con A-I در مقایسه با Con A-II و زهر خام، فعالیت قوی‌تری را نشان داد. آنالیز بیشتر Con A-I وجود دو زیر جزء

Con A-IPS-II و Con A-I-PS-I را نشان داد (۱۲۲). زیر جزء اول شامل سه پروتئین ۴۲/۱، ۱۰۰ و ۱۱۰ کیلودالتونی بود؛ در حالی که مورد دوم فقط یک پروتئین ۴۵ کیلودالتونی به نام لکتین ۴۵ کیلودالتونی نشان داد. دو ترکیب Con A-I-PS-I و لکتین ۴۵ کیلودالتونی، فعالیت سمیت سلولی مشخصی را علیه سلول‌های سرطان خون انسانی K562 نشان ندادند (۱۲۲).

تراکینیلیزین، مکانیسم عمل و برخی فعالیت‌های بیولوژیک

تراکینیلیزین (TLY)، یک پروتئین توکسیک همولیتیک ۱۵۸ کیلودالتونی (۱۲)، یا ۱۵۹ کیلودالتونی (۸۷) جداسازی شده از ونوم سنگ ماهی سینانستا تراکینیس می‌باشد (۱۰، ۲۵ و ۱۰۴). تراکینیلیزین، دارای یک pI ۵/۷ است (۱۲ و ۹۴) و فراکشن‌های آن توسط کروماتوگرافی‌های مایع پروتئینی سریع تبادل آنیونی (FPLC-IE) و اندازه طردی (FPLC-SE) بدست آمده است (۱۲۳).

تراکینیلیزین با فعالیت همولیتیک خود می‌تواند موجب مرگ یا افزایش نفوذپذیری عروقی گردد. این توکسین، همچنین موجب تشکیل منافذ در سطوح دو لایه لیپیدی مسطح می‌شود. به علاوه، TLY، از طریق خروج و ذخیره کلسیم، رهاسازی کاتکول آمین‌ها را از سلول‌های کرومافین تسهیل می‌نماید (۹۴ و ۱۰۴).

علاوه بر این، TLY رهاسازی استیل کولین را از پایانه‌های عصبی کولینرژیک دهلیزی و گیرنده‌های موسکارینی فعال ثانویه افزایش می‌دهد (۹۴ و ۱۲۳). این توکسین به طور انتخابی، ترشح و زیکول‌های کوچک شفاف سیناپسی را تحریک و بازجذب آن‌ها را مختل

⁵⁰ Blue protein

می‌نماید اما تأثیری در رهاسازی وزیکول‌های هسته بزرگ متراکم ندارد (۱۲). نوروتوکسین TLY، موجب افزایش قابل توجه میزان پتانسیل‌های پایانه مینیاتوری خود به خودی^{۵۱} (MEPPs) در اتصالات عصبی-عضلانی تورپدو شده است (۹۴). این ترکیب را "غول MEPPs" توصیف نموده‌اند؛ چنین پتانسیل‌های بزرگی ممکن است در نتیجه آزاد شدن استیل‌کولین از وزیکول‌های بزرگ سیناپسی یا اندوزوم‌های اولیه ایجاد گردد (۱۰، ۱۷، ۲۵، ۹۴ و ۱۲۵-۱۲۳).

هیالورونیداز

مطالعات اولیه بر روی خصوصیات آنزیمی زهر سینانستا هوریدا، فعالیت هیالورونیدازی آن‌ها را نشان داد (۱۲، ۱۴، ۵۳ و ۷۹).

اخیراً توصیف جامعی از ترانسکریپتوم غدد زهر و پروتئوم زهر خام از سینانستا هوریدا منتشر شده است (۷۶). بر اساس این آنالیز، پروتئوم ونوم در درجه اول از پروتئین‌های شناخته شده به‌عنوان لکتین‌های نوع C^{۵۲} و SNTX تشکیل شده است؛ علاوه بر این، هیالورونیداز و پراکسی‌ردوکسین^{۵۳} نیز موجود است (۷۶).

هیالورونیدازها در ماتریس خارج سلولی موجودات مختلف، پیوند مولکول‌های آب، یون‌ها و نمک‌های فلزی یافت می‌شوند و به‌عنوان یک سیمان درون سلولی عمل می‌نمایند. هیالورونیداز در مایعات و اندام‌های بدن انسان و همچنین در زهر عقرب، مارمولک، عنکبوت و مار یافت شده است (۱۲۶).

گرچه هیالورونیدازها به خودی خود توکسین نیستند، اما اعتقاد بر این است که آن‌ها به‌عنوان عوامل

گسترش‌دهنده واسط در انتشار توکسین‌ها در سراسر بدن عمل می‌کنند (۱۲۷) آن‌ها یک عامل مهم انتشار موجود در بسیاری از زهرهای مختلف هستند که موجب تخریب هیالورونات (یکی از مواد اصلی سازنده بافت هم‌بند در جانوران) می‌گردد (۱۴ و ۲۵). هیالورونیداز خالص ونوم سنگ‌ماهی (SFHYA1)، سینانستا هوریدا یک گلیکوپروتئین با تحمل کم نسبت به گرما با pI برابر ۹/۲ و جرم ملکولی ۶۲ کیلودالتون است و با فعالیت‌های کشندگی یا خونریزی‌دهنده ونوم همراه نبوده است (۵۳). به نظر می‌رسد SFHYA1 برای هیالورونیک اسید (HA) انحصاری بوده (۱۲۸) و به خانواده هیالورونیداز PH-20 که گروهی از پروتئین‌های چند منظوره با ویژگی‌های آنزیمی منحصر به فرد و الگوهای بیان در بافت‌های مختلف هستند شبیه باشد (۱۲۹).

هیالورونیداز خالص به‌طور شگفت‌انگیزی در مقایسه با زهر خام، زمانی که با استفاده از روش‌های کدورت‌سنجی اندازه‌گیری می‌شود، ۲۶۱ برابر افزایش فعالیت نشان می‌دهد (۵۳).

هیالورونیداز زهر سنگ‌ماهی مشابه آن است که در زهر مار یافت می‌گردد؛ اما به‌طور قابل توجهی دارای غلظت بیشتری است. این هیالورونیداز یک اندو-a-N-استیل-گلوکوزامینیداز^{۵۴} ویژه برای هیالورونات است. cDNA مربوط به هیالورونیداز سینانستا هوریدا تعیین گردیده است و یک پلی‌پپتید ۴۷۷ آمینوآسیدی را کدگذاری می‌نماید (۱۲ و ۲۷).

همچنین، در مطالعه پوه و همکاران بر روی مقایسه هیالورونیداز زهر مار و SFHYA1، نشان داده شد که SFHYA1 دارای فعالیت چندین برابری هیدرولیز

⁵¹ Spontaneous Miniature Endplate Potentials

⁵² C-Type Lectins

⁵³ Peroxiredoxin

⁵⁴ Endo-a-N-Acetyl- Glucosaminidase

می‌گردد که عمده اجزاء لپیدی موجود در غشای پستانداران را تشکیل می‌دهند (۱۳۱) و ممکن است فعالیت‌های سیتولیتیک تشکیل‌دهنده منفذ زهر را نیز بیشتر نماید (۷۶).

سیناسئین‌ها و مکانیسم سمیت پیشنهادی

بر اساس مطالعه کامرون و اندین (Cameron & Endean)، اصطلاح "ایکتیوکرینوتوکسین‌ها"^{۶۰}، برای ترشحات اپیدرمی ماهیانی که زهرآگین هستند اما با دستگاه زهری ارتباطی ندارند، به کار می‌رود (۱۳۲)؛ از این رو، کرینوتوکسین‌ها برخلاف ونوم‌ها، به موجودات دیگر تزریق نمی‌شوند (۱۵). در مورد ایکتیوکرینوتوکسین‌هایی که در برخی ماهی‌های کرینوتوکسیک^{۶۱} در آب ترشح می‌شوند، اطلاعات کافی در دسترس نیست (۱۳۲).

یافته‌های مطالعه طراحی شده برای توصیف فراکشن ترشحات پوستی سیناسئا تراکینیس توسط کامرون و اندین، نشان از اثرات ضداسپاسم فوق‌العاده قوی بر عضله صاف ایلئوم کوچک هندی داشت (۱۳۳). بخش توکسیک در فراکشن مترشحه غده پوستی ماهی، یک شل‌کننده عضلات صاف بود که توسط کامرون و همکاران، نام "سیناسئین II"^{۶۲} پیشنهاد گردید (۱۳۴). همچنین، اشلی (Ashley) و همکاران، برای شل‌کننده عضلات صاف کوچک هندی به دست آمده از سینانسا تراکینیس نام "سیناسئین I"^{۶۳} را پیشنهاد دادند و بیان نمودند که به‌طور کلی، این عمل با مهار افزایش کلسیم

هیالورونیک اسید است. بررسی‌های بیشتر نشان داد که SFHYA1 زهر سنگ ماهی استوارین^{۵۵} دارای غلظت‌های تقریباً ۱۰۵ برابر بیش از هیالورونیدازهای موجود در زهر مار می‌باشد (۵۳).

مطالعه ماداکارو (Madokoro) و همکاران، بر روی ونوم سینانسا وروکوزا نشان داد که یک هیالورونیداز ۵۹ کیلودالتونی تا حدی خالص‌سازی شده در زهر موجود است و همچون SFHYA1 فقط در برابر هیالورونیک اسید فعالیت نشان می‌دهد. گزارش گردید که این هیالورونیداز به‌عنوان یک عامل گسترش^{۵۶} عمل می‌کند. گرچه هیالورونیداز سینانسا وروکوزا از نظر ساختاری و آنزیمی با ۹۲ درصد توالی اسید آمینه شبیه به SFHYA1 بود اما با هیالورونیدازهای زنبور عسل یا مار کمتر از ۵۰ درصد شباهت نشان داد (۱۳۰). در مطالعه ماداکارو، پیشنهاد گردید با توجه به اینکه هیالورونیداز سنگ‌ماهی، فعالیت افزایش مویرگی^{۵۷} neoVTX در هنگام تزریق داخل پوستی در موش را افزایش می‌دهد، ممکن است حداقل بخشی از این فعالیت مربوط به آن باشد (۱۳۰).

پروتئین‌های شبه پرفورین-۱

در مطالعه زیگمن (Ziegman) و همکاران، یک پروتئین کوچک از زهر خام سینانسا هوریدا جدا شد که با پروتئین‌های شبه پرفورین-۱^{۵۸} موجود در چندین گونه ماهی تلتوست^{۵۹} هومولوگ است (۷۶). پروتئین، دارای یک دامنه C2 است که غشای سلولی را هدف قرار می‌دهد و به فسفولیپیدهایی متصل

⁵⁵ Estuarine

⁵⁶ Spreading factor

⁵⁷ Capillary-Increasing Activity

⁵⁸ Perforin-1-like proteins

⁵⁹ Teleost

⁶⁰ Ichthyocriotoxins

⁶¹ Crinotoxins

⁶² Synacein II

⁶³ Synacein I

داخلی همراه است و می‌تواند به‌عنوان ضداسپاسم عضلات صاف در نظر گرفته شود (۱۳۵).

برادی‌کینین

شواهدی وجود دارد که نشان می‌دهد زهر سینانستا هوریدا بر گیرنده‌های برادی‌کینین اثر می‌کند و ممکن است در برخی از علائم قلبی-عروقی و درد طاقت‌فرسای قربانیان مربوط به تلقیح زهر دخیل باشد (۱۳ و ۱۶).

نشان داده شده است که یک آنتاگونیست گیرنده β_2 با عملکرد به‌عنوان یک بازدارنده غیررقابتی برادی‌کینین، پاسخ شلی ناشی از عروق کرونر خوک توسط زهر خام سینانستا هوریدا یا برادی‌کینین را مهار می‌نماید (۱۳ و ۱۳۶).

برادی‌کینین‌ها پپتیدهایی هستند که در برخی فرآیندهای پاتوفیزیولوژیک همچون التهاب، درد، افزایش نفوذپذیری مویرگ‌ها و گشاد شدن عروق و کاهش مقاومت عروقی دخیل هستند (۱۳۷ و ۱۳۸). علاوه بر تحریک برادی‌کینین، به نظر می‌رسد ونوم سینانستا هوریدا بر روی گیرنده‌های موسکارینی با تحریک تولید استیل‌کولین اندوژن یا تقلید اثر آن، بر غشای قلب، اثر داشته باشد (۱۳، ۸۹ و ۱۰۰).

سیتولیزین

یک سیتولیزین^{۶۴} با pI برابر ۵/۷ و جرم ملکولی ۱۵۸ کیلودالتون از ونوم سینانستا هوریدا خالص‌سازی شده است و دارای فعالیت کشندگی و تخریب‌کنندگی غشای سلولی در موش‌ها است (۷۸).

لکتین‌ها

به‌تازگی توصیف جامعی از ترانسکرپتوم غدد زهر و پروتئوم زهر خام از سینانستا هوریدا منتشر شده است. این آنالیز نشان داد که پروتئین لکتین‌های نوع C^{۶۵} از اجزاء

عمده پروتئوم ونوم است (۷۶) و احتمالاً مسئول فعالیت هماگلویتیناسیون زهر سنگ‌ماهی استوارین (سینانستا هوریدا) بوده و در التهاب مشاهده شده در تلقیح زهر سنگ‌ماهی نقش دارد (۷۶).

همچنین در مطالعه ویجاوان و چاندرا (Vijavan & Chandra)، نشان داده شد که زهر سینانستا وروکوزا حاوی لکتین‌های جدیدی است و این پروتئین‌ها کربوهیدرات‌های خاصی را به‌هم متصل می‌کنند تا واسط چندین فرآیند مختلف بیولوژیکی باشد (۱۳۸). همان‌گونه که ذکر گردید آنالیز زیرجزء Con A-IPS-II شامل یک پروتئین ۴۵ کیلودالتونی به‌نام لکتین ۴۵ کیلودالتونی است (۱۲۲).

پراکسی‌ردوکسین

آنالیز ترانسکرپتوم غدد زهر و پروتئوم زهر خام از سینانستا هوریدا نشان داد که در پروتئوم ونوم، پراکسی‌ردوکسین^{۶۶} نیز موجود است (۷۶). پراکسی‌ردوکسین‌ها، پروتئین‌های آنتی‌اکسیدانی هستند و اعتقاد بر این است با تنوع عملکردی و ساختاری توکسین‌ها از طریق تشکیل پیوند دی‌سولفید مرتبط باشند (۱۲۲).

هیستامین

بر اساس مطالعه هاپکینز و همکاران، مقادیر ناچیز واسط التهابی قوی درد و ادم هیستامین، در زهر سینانستا تراکینیس، وجود دارد (۱۸).

مطالعه آن‌ها در مورد اینکه آیا زهر سنگ‌ماهی موجب رهاسازی ذخایر هیستامین درون‌زا می‌شود یا خیر؟ مشخص نمود که با توجه به فقدان عملکرد ونوم بر روی گیرنده‌های هیستامینی در عضلات

⁶⁴ Cytolysin

⁶⁵ C-type lectins

⁶⁶ Peroxiredoxin

تریپتوفان

در دو مطالعه مجزا توسط گارنیر و همکاران، نشان داده شد که زهرهای خام سینانستا هوریدا (۷۳) و سینانستا وروکوزا (۱۳۹)، حاوی مولکول‌های تریپتوفان است و ممکن است در عوارض و پاتولوژی قربانیان گزش نقش داشته باشند.

سایر بخش‌های زهر و برخی فعالیت‌های آن‌ها

ونوم، مخلوطی از پروتئین‌های مختلف است (۱۴) و (۱۴۰). در مطالعه خو و همکاران، نشان داده شد که زهر خام سینانستا وروکوزا دارای فعالیت‌های فسفولیپازی A_2 ، استیل‌کولین‌استرازی و پروتئازی است (۱۲). زهر سینانستا هوریدا، فعالیت‌های همولیتیک، شبیه ترومبینی، آلکالین فسفومونوسترازی، $5'$ -نوکلئوتیدازی، استیل‌کولین استرازی، فسفودی استرازی، آرژنین‌استرازی، پروتئازی و آرژنین‌آمیدازی را نشان داده است (۴۴، ۷۶ و ۸۹). به علاوه، در این زهر آمینوپپتیداز نیز گزارش گردیده است (۱۴ و ۷۳). بیشتر این یافته‌ها اصولاً تجربی بوده و مستلزم تحقیقات بیشتری هستند (۲۵).

به‌طور کلی، به نظر می‌رسد ترکیب ونوم سینانستا هوریدا در مقایسه با سایر گونه‌های زهراگین، منحصر به فرد بوده و حاوی پروتئین‌های مختلفی است که قبلاً در مطالعات پروتئومیکس سایر زهرها شناخته نشده‌اند (۷۶).

جدول ۳ به‌طور خلاصه، عمده توکسین‌های یافت شده در ونوم سنگ ماهی و جرم‌های ملکولی آن‌ها را نشان می‌دهد.

صاف خوکیچه هندی، این مسئله بعید به نظر می‌رسد (۱۸). اولین اثر موضعی و خفیف گزش، درد طاقت‌فرسا است. درد همراه با قرمزی و تورم، غالباً در اندام گسترش یافته و گره‌های لنفاوی آن منطقه را درگیر می‌کند. هیستامین، یک واسط التهابی قوی همراه با درد و ادم است (۱۸). در مطالعه پوه و همکاران نیز بیان گردید که به نظر نمی‌رسد افزایش نفوذپذیری عروقی ناشی از زهر سینانستا هوریدا با رهاسازی هیستامین مرتبط باشد زیرا دیفن‌هیدرامین، بر خصوصیات التهابی SNTX تأثیری ندارد (۴۳).

برخی آمین‌های بیوژنیک

در چندین مطالعه گزارش شده است که ونوم سنگ‌ماهی حاوی نوراپی‌نفرین است (۱۳، ۳۴ و ۱۳۹). بر اساس مطالعه گارنیر و همکاران، زهر خام سینانستا هوریدا حاوی مولکول‌های کوچک نوراپی‌نفرین و دوپامین است که از تنظیم‌کننده‌های شناخته شده فیزیولوژی قلب به حساب می‌آیند (۷۳) و ممکن است در عوارض و پاتولوژی قربانیان گزش، نقش داشته باشند (۱۳۹). مشابه سینانستا هوریدا، زهر خام سینانستا وروکوزا نیز دارای نوراپی‌نفرین و دوپامین است (۱۳۹). پیش از این تصور می‌شد که سروتونین با درد ناشی از مسمومیت سنگ‌ماهی مرتبط است و به انقباض برونش و گشاد شدن عروق کمک می‌کند؛ حتی اگر این علائم با مسمومیت سنگ‌ماهی سازگار باشد تاکنون در زهر هیچ سینانستایی مشاهده نشده است (۱۸ و ۱۳۹).

جدول ۳) عمده توکسین‌های یافت‌شده در ونوم سنگ ماهی و جرم‌های ملکولی (kDa) آن‌ها					
منبع	جرم ملکولی زیر واحد (KDa)	جرم ملکولی (kDa)	توکسین		گونه سینانستا
(۱۴)	زیر واحد-آلفا-۷۹	۱۴۸	استونوستوکسین		سینانستا هوریدا
	زیر واحد-بتا-۷۹				
(۷۸)	-	۱۵۸	سیتولیزین		
(۵۳)	-	۶۲	SFHHYA1		
(۷۶)	-	۲۴	پروکسی‌ردوکسین		
(۷۳)	2X- زیر واحد-آلفا-۸۳	۳۲۲	ورو توکسین		سینانستا وروکوزا
	2X- زیر واحد-آلفا-۷۸				
(۱۲۱)	زیر واحد-آلفا-۷۹	۱۶۶	نئو-ورو توکسین		
	زیر واحد-بتا-۷۹				
(۳۵)	-	۴۶	کاردیوپلوتین		
(۱۴۱)	-	۴۲/۱	Con A-I-PS-I		
		۱۰۰			
		۱۱۰			
(۱۴۱)	-	۴۵	لکتین ۲۵ کیلودالتونی	Con A-I-PS-II	
(۱۳۰)	-	۵۹	هیالورونیداز		
(۱۲)	-	۱۵۸	تراکتیلیزین		

قدرت کشندگی

سنگ‌ماهی‌ها به‌عنوان یکی از زهرآگین‌ترین ماهی‌های جهان شناخته می‌شوند (۳۹). ونوم آن‌ها از نظر قدرت با ونوم مار کبرا قابل مقایسه است (۱). تزریق ونوم سنگ‌ماهی به حیوانات آزمایشگاهی، موجب واکنش‌های موضعی و سیستمیک کاملاً مشابه با موارد گزش طبیعی در انسان شده است (۱۷). میزان LD₅₀ ونوم سینانستا هوریدا در خرگوش، ۱۵ میلی‌گرم بر

کیلوگرم (۳۲ و ۳۵)، ۳۰۰ میکروگرم بر کیلوگرم (i.v). در موش (۸۹) و LD₅₀ i.p. ونوم سنگ‌ماهی در موش‌ها تقریباً ۱/۶ میلی‌گرم بر کیلوگرم تخمین زده شده است (۷۸). به علاوه، LD₅₀ (i.v.) توکسین SNTX در موش‌ها ۱۷ نانوگرم در گرم برآورد گردیده است (۱۲ و ۴۳). جدول ۴، برخی مقادیر LD₅₀ در موش سوری مربوط به زهرها و توکسین‌های دو گونه سنگ‌ماهی سینانستا را در مطالعات مختلف نشان می‌دهد.

جدول ۴) مقادیر LD ₅₀ در موش سوری مرتبط به زهر و برخی توکسین‌های دو گونه سنگ‌ماهی سینانستا هوریدا و سینانستا وروکوزا				
منبع	میزان LD ₅₀ (µg/kg)	راه تجویز*	زهر و توکسین	گونه سینانستا
(۲۸)	۰/۱-۴/۶	IV	زهر خام	سینانستا هوریدا
(۴۷)	۲۲۰	IV	زهر بازسازی شده	
(۸۹ و ۷۱، ۴۳)	۶۶۶-۳۰۰	SC		
(۷۱)	۴۰۰۰-۲۶۶۶	IC		
(۷۱)	۲۶۶	IP		
(۷۸ و ۷۱)	۲۰۰۰-۱۳۳۳	IV	فراکشن ۱	
(۴۳)	۳۵	IV	استونوستوکسین	
(۱۴۲)	۳۶۰	IV	زهر خام	سینانستا وروکوزا
(۳۸)	۱۸۰			
(۷۳)	۱۲۵			
(۱۱۷)	۱۰۷	IM	زهر خام	
(۱۴۳)	۳۸			
(۱۴۳)	۴۷	IV	نئوورو توکسین	

*Iv: intravenous; IM: intramuscular; IP: intraperitoneal; IC: intracerebral; SC: subcutaneous

برخی علایم بالینی دیگر در موارد برخورد انسانی

سنگ‌ماهی‌ها از زهر خود در درجه اول برای اهداف دفاعی استفاده می‌کنند. این برای هر انسانی که به اندازه کافی بدشانس باشد می‌تواند مرگبار باشد (۳، ۱۴۴ و ۱۴۵). زهر موجب اثرات سوء در انسان می‌شود (۴۷ و ۷۷).

عارضه‌ای که توسط دستگاه زهری سنگ ماهی ایجاد می‌شود، مجموعه‌ای از علائم را ایجاد می‌کند. علامت اصلی، درد در ناحیه آسیب دیده است که بسته به تعداد و نوع گزش، گونه ماهی، مقدار زهر تزریق شده، سن و وضعیت سلامتی قربانی ممکن است این درد از خفیف تا شدید باشد (۱۰). علاوه بر درد شدید در سوراخ زخم محل گزش، ادم، کاهش فشارخون، مشکلات تنفسی، تشنج و حتی مرگ در عرض شش ساعت نیز مشاهده شده است (۳، ۱۴، ۳۲، ۳۴ و ۱۴۶).

در موارد مسمومیت‌های انسانی ناشی از تلقیح زهر سنگ ماهی، عوارض سریع نظیر کلاپس و ادم ریوی، به‌طور گسترده تشریح شده است، اما عوارض دیررس همچون ادم و نکروز بافتی، با وجود شیوع زیاد، با جزئیات مورد مطالعه قرار نگرفته‌اند (۱۷ و ۴۶). درد شدید و ضربانی، زخم ایسکمیک یا سیانوتیک، اریتم، ادم قابل توجه و احساس گرما، وزیکول‌ها و سلولیت‌ها، تورم‌های موضعی شدید و سوزش بافت، همراه با اثرات سیستمیک سردرد، استفراغ، درد شکم، هذیان، تشنج، فلج اندام، ناراحتی تنفسی، فشار خون بالا و حتی افت فشار خون، آریتمی و نارسایی احتقانی قلب رایج است (۱).

بیشتر اطلاعات مربوط به زمینه سمیت سنگ‌ماهی در انسان، از گزارش‌های موردی چاپ شده، به‌دست آمده است. یک گزارش موردی سه مصدومیت با سینانستا وروکوزا توسط مایلاود (Maillaud) و همکاران، توصیف

گردید. بیماران در بیمارستان بستری شده و یکی از قربانیان به CPR نیاز داشت و به تنگی نفس و خس‌خس دو طرفه دچار گردید به‌طوری که فرضیه ادم حاد ریوی مطرح شد، اگرچه تأیید نگردید. در دو مورد دیگر، افزایش فشارخون ریوی و ادم حاد ریوی تشخیص داده شد که با ادم بینابینی و افزونی‌های پلورال دو طرفه مشخص گردید. در یکی از این موارد، پاتولوژی‌ها شدید بود، به‌طوری که بیمار دچار ایست قلبی ریوی، اختلال در عملکرد بطن چپ و فیوژن‌های پریکاردیال و پلورال گردید و زنده نماند (۶۱). چان (Chan) و همکاران، در یک مطالعه گذشته‌نگر در یک دوره سه ساله، تعداد ۳۳ مورد گزارش شده از گزش‌های ماهیان زهرآگین را در افراد ۲۰ تا ۸۴ ساله در هنگ‌کنگ مورد بررسی قرار دادند. از این بین، ۷ مورد توسط سنگ ماهی سینانستا وروکوزا مورد گزش قرار گرفته شده بودند. همه بیماران از درد در محل گزش شکایت داشتند. سایر علائم، شامل تورم زخم، اریتم، بی‌حسی، سلولیت، تنوسینوویت^{۶۷}، تشکیل آبه‌سه در ناحیه گزش و مهار عصبی دیجیتال به‌ترتیب در ۲۸، ۱۳، ۱۳، ۳، ۱، و ۱ نفر مشاهده شدند (۴۹).

در گزارش موردی اونکیلی و چیچ (Ongkili & Cheah)، مصدومیت یک زن ۴۷ ساله که از درد شدید در پای راست خود پس از پا نهادن بر یک سنگ ماهی در ساحل کوتو کینابالو^{۶۸}، شکایت داشت مورد بررسی قرار گرفت. نمره درد وی ۱۰/۱۰ بود. انگشت پا بسیار دردناک بود و حتی در حرکات اندک نیز درد داشت. مچ پای وی نیز هنگام خم‌شدن به شدت دردناک می‌شد. اریتم تا ران راست او همراه با یک درد ملایم گسترش یافته بود (۱۰). جدول ۵ برخی از گزارش‌های موردی گزش سنگ ماهیان، تظاهرات و درمان آن‌ها را نشان می‌دهد.

⁶⁷ Tenosynovitis

⁶⁸ Kota Kinabalu

جدول (۵) برخی از گزارش‌های موردی گزش سنگ‌ماهیان، تظاهرات و درمان آن‌ها			
مطالعه	تظاهرات	درمان	مرجع
مطالعه گذشته‌نگر بر روی شش مسافر	آپسه جلدی (۱ مورد)، عوارض نکروتیک، زخم‌های پا (۲)، سلولیت (۳)، ادم دردناک (۲)، لنفانژیت (۳)، سکل‌های طولانی مدت (۲).	خنثی‌سازی زهر توسط آب گرم، ضدعفونی کننده، آنتی‌بیوتیک	(۴۶)
گزارش مورد، مرد ۳۴ ساله	دیسپنه شدید، خلط خونی، میزان تنفس ۶۰ و نبض ۱۴۰ در دقیقه، شش زخم عمیق در پای چپ، با ظاهر تیره و همراه با ادم و اریتم که به مچ پا کشیده شده بود. اینفلتراسیون‌های منتشر، نرم و دو طرفه در فیلم قفسه سینه.	رادیوگرافی پا، آنتی‌بیوتیک و تهبویه مکانیکی بیمار، آنتی‌بیوتیک تزریقی (۶۰۰۰ واحد)، تانوس پروفیلاکسی، غوطه‌وری در آب گرم به مدت ۴۵ دقیقه، دریدمان زخم.	(۲۹)
یک مطالعه گذشته‌نگر در ۱۶ مورد	تظاهرات موضعی و سیستمیک، عمده‌ترین مکان‌های آسیب اندام تحتانی (۱۴ مورد) و اندام فوقانی (۲ مورد).	تزریق لیدوکائین موضعی برای تسکین درد، آنتی‌هیستامین‌ها و کورتیکواستروئیدها، آنتی‌بیوتیک (فقط در ۲ مورد). عدم استفاده از آب گرم و تتابولین	(۳۷)
گزارش مورد، ۵۰ ساله	آسیب به انگشت انگشتری دست چپ، درد و تورم، اریتم اولیه، افزایش تدریجی درد و تورم و تندرین موضعی شدید، تاول، پارستزی در عصب میانی، ادم، ایجاد سندرم حاد تونل کارپ منجر به درد و بی‌حسی شدید.	غوطه‌وری در آب گرم، تزریق وریدی آنتی‌بیوتیک (در پاسخ به پیشرفت سریع علائم موضعی)	(۲۵)

مدیریت مسمومیت

گردند (۵). هر زخمی که در محیط دریایی حاصل شود می‌تواند آلوده باشد، خصوصاً اگر زخم بزرگ باشد. سوراخ زخم ممکن است به رسوبات کف دریا، مواد آلی یا میکروب‌های دریایی بیماری‌زا آلوده گردد (۱). برای مدیریت مسمومیت، ابتدا غوطه‌وری اندام در آب گرم (HWI)، حدود ۴۵ درجه سانتی‌گراد توصیه می‌شود (۳۷، ۴۴، ۵۱، ۱۵۱-۱۴۹). درجه حرارت ابتدا باید با یک اندام غیرحساس آزمایش شود (۱، ۳ و ۱۵۲). ناپایداری پروتئین و نونوم در گرما، اساس درمان غوطه‌وری در آب گرم است. گرما موجب دناتوره شدن پروتئین و غیرفعال شدن زهر می‌گردد. گفته می‌شود که این روش درمانی، گیرنده‌های درد در سیستم عصبی را تعدیل نموده و موجب کاهش درد می‌گردد (۴ و ۱۰). مهم است که دمای آب با نظارت مداوم و افزودن آب گرم با روش‌های ممکن همچون عایق حرارتی یا یک سینک فلزی حفظ گردد (۱۰ و ۱۵۲). برای حفظ دمای مناسب آب، تقریباً هر ۱۰ دقیقه باید آب گرم اضافه یا تعویض شود. تجربه نشان داده است که دما درمانی، حداقل برای ۳۰ تا ۹۰ دقیقه لازم است. در زمان‌های

اولین بار در سال ۱۷۵۸، هنگام استفاده ماهیگیران آلمانی از بالشتک گرم بر روی زخم‌های ناشی از گزش ماهی‌های خاردار^{۶۹}، کاربرد گرما برای درمان گزش‌های دریایی به ثبت رسید (۱۴۷). بنابراین، دما درمانی برای قرن‌ها به‌طور سنتی در درمان گزش ماهی‌ها به شکل آب داغ، سرکه، سنگ و حتی ادرار داغ به‌کار برده می‌شده‌است (۱۰ و ۱۴۷). اکثر پروتکل‌های استاندارد مدیریت درمان آسیب با سنگ ماهیان شامل احیاء اولیه، تسکین علائم درد با غوطه‌ور درمانی گرمایی، تجویز آنتی‌بیوتیک و نونوم برای علائم سیستمیک یا موضعی شدید و برداشتن خارها یا اجسام خارجی توسط جراحی است (۳۳ و ۵۱). بسیاری از بیمارانی که در آغاز با درد شدید و زخم عمیق مواجه می‌شوند از دلیل آن بی‌اطلاع هستند (۱۴۸). هنگامی که هویت جانور دریایی مسئول حمله مشخص نیست، ظاهر زخم و علائم بالینی می‌تواند پزشک را برای درمان مناسب راهنمایی کند (۱). زخم‌ها هر چه سریع‌تر باید شستشو داده شوند و در صورت وجود هر شیء خارجی و خار در آن خارج

بودن زخم، انفیلتراسیون مستقیم بافت با لیدوکائین ۱ تا ۲ درصد بدون اپی نفرین، مؤثر است (۱).

به دلیل شیوع زیاد زخم، نکروز و عفونت‌های ثانویه، آنتی‌بیوتیک برای زخم‌های سوراخ عمیق توصیه می‌شود (۱). غوطه‌وری در آب گرم، ممکن است میکروارگانیسم‌های دریایی، به‌ویژه ویبریو ولنیفیکوس^{۷۰}، باکتری آبری مسئول نکروز در قربانیان گزش‌های ماهی را گسترش دهد (۱۱). به‌نظر می‌رسد دمای آب، موجب افزایش فعالیت و تکثیر باکتری‌ها گردد. با اینحال، آنتی‌بیوتیک پروفیلاکسی در مدیریت مسمومیت با سنگ ماهی مورد بحث است؛ این ممکن است در قربانیان زهر سنگ ماهی، به‌ویژه در مناطق با شیوع بالای عفونت ویبریو، مناسب باشد (۵۵). در مطالعه لی (Lee) و همکاران، استفاده از آنتی‌بیوتیک‌های پیشگیری کننده برای جلوگیری از خطر ویبریو و سایر ارگانیسم‌های دریایی جهت مهار عفونت‌های ثانویه حمایت شده است (۵۷). چندین آنتی‌بیوتیک توصیه شده در مسمومیت‌های اسکورپیونیده و سینانسییده، شامل آنتی‌بیوتیک‌های وسیع‌الطیف (آموکسی‌سیلین / کلارولانات، سفنازیدیم)، سیپروفلوکساسین و داکسی‌سایکلین می‌باشند (۱۰، ۱۱ و ۵۷).

زخم‌های کوچک یا پارگی جزئی به تجویز آنتی‌بیوتیک نیاز ندارند. برای عفونت‌های با آسیب‌های احتمالی جدی مانند پارگی‌های زیاد، زخم‌های با سوراخ عمیق به‌ویژه در مفاصل یا در مجاورت آن‌ها و وجود اجسام خارجی، آنتی‌بیوتیک‌های سفوپرازون، سفوتاکسیم، سفنازیدیم، کلرامفنیکل، جنتامایسین و توبرامایسین توصیه می‌شود (۱).

کوتاه‌تر دما درمانی، هنگام خروج اندام از آب گرم، درد مجدداً عود خواهد کرد (۵، ۶ و ۱۵۰).

در یک مطالعه، دمای ۵۰ درجه سانتی‌گراد توصیه شده است، اما بیشتر بیماران نمی‌توانند پاهای خود را در آب بالاتر از ۴۵ درجه سانتی‌گراد به سبب گرم بودن بیش از حد آن قرار دهند (۱۵۰).

هیچ مدرکی دال بر افزودن آمونیاک، منیزیم سولفات، پتاسیم پرمنگنات یا هر حلال آلی به محلول وجود ندارد و باید حذف گردد (۱). غوطه‌وری در آب گرم قبل از ورود مصدوم به نزدیک‌ترین بخش اورژانس را باید، به‌عنوان اقدام اولیه در محل انجام داد (۱۰).

برای دردهای شدیدتر یا غیرپاسخ به درمان، به آنالژیک‌های خوراکی و گهگاهی تزریقی نیاز است (۳ و ۱۴۸). انفیلتراسیون زخم با بی‌حسی موضعی یا بلوک عصبی ناحیه‌ای اغلب مؤثرتر است (۳۷)؛ با این حال، پس از بی‌حسی اندام، به دلیل خطر آسیب دمایی، نباید از آب گرم استفاده نمود (۵). به‌نظر می‌رسد درد شدید ناشی از عملکرد زهر، اصلی‌ترین مشکل در مدیریت مراقبت است. استفاده از روش‌های کلاسیک ضد درد، ممکن است در تسکین درد مواردی چون سنگ ماهی سنگی بی‌اثر باشد.

مایلاود و مایلارد (Maillard)، در مورد تجربه بی‌حسی موضعی در ۵۶ بیمار مبتلا به گزش با عقرب ماهی، پیشنهاد نمودند که استفاده از بی‌حسی موضعی در هر مورد با هر نوع آسیب باید مورد توجه قرار گیرد. در دردهای شدید و علائم موضعی، با یا بدون علائم سیستمیک، ممکن است به‌عنوان یک مراقبت اولیه به بی‌حسی موضعی نیاز باشند (۱۴۶).

ممکن است نارکوتیک‌ها یا بی‌حسی موضعی با بویواکائین ۰/۵ درصد لازم آیند. در صورت کوچک

⁷⁰ *Vibrio vulnificus*

بهبودی در درد وی مشاهده نشد، بنابراین میزان ۵ میلی گرم، مورفین وریدی و بی حسی موضعی در ناحیه آسیب دیده داده شد. با این وجود، درد همچنان شدید بود. پس از آن، پای راست بیمار حدود ۳۰ دقیقه در آب گرم غوطه‌ور شد. درجه درد وی حدود ۱۵ دقیقه پس از درمان به ۵/۱۰ و پس از ۱۰ ساعت، به یک دهم کاهش یافت. سپس با مسکن درد خوراکی و آنتی‌هیستامین کامل گردید (۱۰).

در مطالعه چان و همکاران، هر ۳۳ فرد مورد گزش، برای تجویز آنتی‌بیوتیکی تزریقی در بیمارستان بستری شدند. غوطه‌وری در آب گرم، شایع‌ترین مدیریت مصوب حاد گزش با ماهیان زهرآگین، در ۲۵ مورد در بخش اورژانس بود. به ترتیب یازده و دوازده بیمار برای تسکین درد زخم خود مسکن‌های خوراکی و تزریقی و همچنین ۳۲ بیمار یک یا ترکیبی از چند آنتی‌بیوتیک دریافت نمودند. سیپروفلوکساسین (۱۹ مورد) و سپس آموکسی‌سیلین/ کلانولانات (۱۳ مورد)، رایج‌ترین آنتی‌بیوتیک تجویز شده بودند. فقط یک بیمار در نتیجه تشکیل آبسه، به برش و تخلیه زخم نیاز داشت (۴۹).

در یک نظرسنجی تلفنی به ثبت رسیده از ۱۶ پرستار بخش اورژانس بیمارستان دولتی در هنگ‌کنگ که توسط لاو (Lau) و همکاران، انجام گردید ۱۴ پرستار از روش فعلی غوطه‌وری در آب گرم در یک جعبه یا سینی پلاستیکی استفاده کرده بودند. آزمایش آن‌ها نشان داد که دمای آب به ترتیب به مدت ۵ دقیقه و ۱۵ دقیقه در سینی فلزی و جعبه از محدوده مطلوب خارج شد. بنابراین، از عایق حرارتی دما در طول ۳۰ دقیقه از زمان مطالعه برای حفظ دما استفاده گردید. در این مطالعه، بیان گردید که عایق حرارتی وسیله‌ای ایمن، عملی و مؤثر برای HWI درمانی است (۱۵۲). در یک مطالعه گذشته‌نگر، ۳۰ مورد مسمومیت با سنگ‌ماهی در

در افرادی که دارای اختلالات ایمنی یا بیماری کبدی جدی هستند (۳۴)، به‌ویژه آن‌هایی که سطح آهن سرمی آن‌ها بالا است (آهن ماده مغذی مهمی برای میکروارگانیزم است)، سیپروفلوکساسین خوراکی یا تری‌متوپریم-سولفامتوکسازول خوراکی، اندیکاسیون دارد. در این مورد، پنی‌سیلین، آمپی‌سیلین، اریترومایسین و سفالوسپورین‌های نسل اول، گزینه‌های قابل قبولی نیستند (۱). سایر روش‌های درمانی مانند سرکه، آب انجیر، کاکتوس آب‌پز، سنگ داغ، ادرار داغ، آب داغ و کیسه یخ نیز پیشنهاد شده‌اند اما بر هیچ پایه علمی نیستند (۴ و ۴۴).

ونوم‌ها غالباً در اثر گرما، میزان pH، هیدروژن پروکسید، ید و پتاسیم پرمگنات غیرفعال می‌گردند. هرچند، سه سم‌زدای آخر ممکن است برای بافت مضر باشند. بانداژ نمودن موضع، سرما درمانی، استروئیدهای موضعی یا سیستمیک یا آنتی‌هیستامین، توصیه نمی‌گردند. برای شناسایی هر باقیمانده قطعه رادیوپاک، عکس‌برداری با اشعه ایکس لازم است. زخم‌های شکمی و قفسه سینه و زخم‌های عمیق اندام‌ها صورت، به‌جای بخش اورژانس باید در اتاق عمل بررسی گردند. زخم‌های بسته شده باید باز و پس از بررسی وجود بقایای خار، بخیه زده شوند. دبریدیمان ناکافی، زمان بهبودی بیمار را طولانی می‌کند. در صورت ایجاد نکروز، ممکن است به دبریدیمان متوالی نیاز داشته باشد (۱).

زخم‌ها ممکن است ماه‌ها به ترمیم نیاز داشته باشند و امکان ایجاد گرانولومای پوستی آزار دهنده یا بقایای موجود در بافت نرم، به‌ویژه در پی عفونت ثانویه یا آبسه عمیق، وجود دارد. بی‌حسی ممکن است تا هفته‌ها ادامه داشته باشد (۱).

در گزارش اونکیلی و چیچ، برای درمان قربانی در ابتدا، با وجود تجویز ۷۵ میلی‌گرم دیکلوفناک عضلانی هیچ

استفاده گردد. آنتی ونوم در صورت تزریق داخل وریدی و بلافاصله پس از آسیب مؤثرتر خواهد بود (۵ و ۱۵۸). آنتی ونوم سنگ ماهی^{۷۱} تجاری (SFAV)، یک Fab'2 اسب است که توسط CSL در ملبورن استرالیا ساخته شده است (۱۵۹) و در خنثی سازی تمام اثرات جدی بالینی ناشی از زهر سینانستا تراکینیس و جلوگیری از خصوصیات کشنده، افزایش نفوذپذیری عروقی و همولیتیک ونوم مؤثر است (۳، ۱۵۴ و ۱۵۹). افزون بر این، از آن برای ونوم سنگ ماهی سینانستا وروکوزا و یا سینانستا هوریدا استفاده می شود (۱۵۴). آنتی ونین در ویال های حاوی ۲ میلی لیتر سرم اسب بیش از حد ایمن شده، عرضه می گردد. یک میلی لیتر از آن قادر است ۲۰ میلی گرم زهر (۱۵۴)، یا ۱۰ میلی گرم زهر خشک (۱) را خنثی نماید. این محصول نسبتاً ارزان قیمت (۱۵۹)، همچنین حاوی فنل، سدیم کلرید و سایر پروتئین های پلاسما ی اسبی در یک محلول آبی است (۴۱ و ۱۵۴). اندیکاسیون ها برای علائم استفاده از آنتی ونوم سنگ ماهی شامل درگیری سیستمیک و علائم شدید موضعی (۵۱)، یا ادم و درد شدید بوده که به اقدامات کمک های اولیه پاسخ نمی دهند (۴۱). مقادیر خنثی کنندگی آنتی ونوم به عنوان پادزهر در LD₅₀ برابر 7310 ml^{-1} برای سینانستا وروکوزا و سایر زهرها ۲۹۹۰-۱۲۲۰ (ml^{-1}) محاسبه شده است (۳۸). همچنین مشخص شده است که SFAV علاوه بر سنگ ماهی، اثرات همولیتیک شیر ماهی ها نظیر پترویس ولیتانس^{۷۲}، پترویس لونولاتا^{۷۳}، پترویس انتاناتا^{۷۴} و دندروچیروس زبرا^{۷۵} را نیز خنثی می نماید (۳ و ۳۸).

سنگاپور، توسط نگو (Ngo) و همکاران نشان داده شد که بیشتر قربانیان به هر دو مسکن تزریقی (پتیدین یا دیکلوفناک) و غوطه وری با آب گرم و حدود ۳۰ درصد از بیماران به ضددردهای بیشتری نیاز داشتند (۵۵). یک مرکز مسمومیت در سانفرانسیسکو، نتیجه مطلوبی را در استفاده از غوطه وری در آب گرم برای درمان گزش عقرب ماهی گزارش کرده بود و ۸۰ درصد از ۹۴ درصد بیماری که تحت درمان قرار گرفتند، تسکین درد کامل را تجربه کردند (۱۵۳).

آنتی ونوم سنگ ماهی

غوطه وری در آب گرم با درمان آنتی ونوم غیرقابل مقایسه است زیرا خیساندن در آب گرم موجب تسکین علامت درد می شود و احتمالاً ونوم را به صورت موضعی غیرفعال و از گسترش آسیب جلوگیری می کند. در حالی که آنتی ونوم یک داروی تزریقی است که زهر را در گردش سیستمیک غیرفعال می کند (۱۰).

آنتی ونین ها برای درمان مشکلات شدید ناشی از گزش و نیش جانوران مختلفی چون مارها، عنکبوت ها، عقرب ها، یا جانوران دریایی یا از طریق تماس با گیاهان زهر آگین استفاده می گردند. آن ها از طریق فراکشناسیون پلاسما ی جمع آوری شده از اسب ها یا به ندرت گوسفندان ایمن شده، به دست می آیند (۱۵۴ و ۱۵۵). بسیاری از مطالعات، استفاده از آنتی ونوم به عنوان ابزاری قدرتمند در مدیریت مسمومیت با سنگ ماهی را حمایت می کنند (۱۵۶ و ۱۵۷).

آنتی ونوم سنگ ماهی باید در هر نوع گزش سنگ ماهی که به غوطه وری در آب گرم و ضد درد پاسخ کافی ندهد،

⁷¹ Stonefish Antivenom

⁷² *Pterois volitans*

⁷³ *P. lunulata*

⁷⁴ *P. antennata*

⁷⁵ *Dendrochirus zebra*

نتایج به دست آمده از گزارش‌ها، نشان داده‌اند که پادزهر سنگ‌ماهی، ممکن است موجب واکنش‌های آلرژیک گردد (۳). تزریق سرم اسبی، ممکن است در افراد دارای آلرژی، عوارض جانبی بیشتری را ایجاد نماید. علائم ناگهانی آلرژی مانند بثورات پوستی، خارش یا کهیر روی پوست، تورم صورت، لب‌ها، زبان یا سایر قسمت‌های بدن، تنگی نفس، خس‌خس سینه یا مشکل تنفس سریع، تنفس کم‌عمق، سرما، پوست مرطوب، پالس‌های ضعیف و سریع، سرگیجه، ضعف و ورم‌های پوستی مایل به صورتی و خارش‌دار روی پوست، کهیر یا تب بثورات سوزنی، تورم، بثورات پوستی، دردهای مفصلی و تورم غدد زیر بغل یا کشاله ران، از زمان تزریق تا دو هفته پس از آن دیده شده است. این موارد، عوارض جانبی جدی هستند و ممکن است نیاز به مراقبت فوری پزشکی داشته باشند (۴۱ و ۱۵۴).

به دلیل واکنش‌های آلرژیک، باید سرنگی که از قبل با آدرنالین ۱:۱۰۰۰ بارگذاری شده است، در طی درمان آنتی‌نوم در دسترس باشد. واکنش‌های آنافیلاکتیک بیشتر در کسانی که آتوپیک هستند یا قبلاً سرم اسبی دریافت کرده‌اند، رخ می‌دهد. این شامل بیماری‌هایی است که قبلاً آنتی‌توکسین کزاز اسبی (قبل از ۱۹۷۴ در استرالیا) دریافت کرده‌اند. برخی از مقامات از داروی پیشگیرانه با آدرنالین زیر جلدی و آنتی‌هیستامین وریدی خصوصاً در بیماران در معرض خطر، حمایت کرده‌اند، اما چنین استفاده‌ای بحث برانگیز است (۴۱).

آنتی‌نوم سنگ‌ماهی، حاوی هیچ ماده نگهدارنده ضد میکروبی نیست، بنابراین بیماری‌های عفونی ناشی از انتقال عوامل عفونی را نمی‌توان کاملاً منتفی دانست (۱۵۴). این امکان همیشه باید در نظر گرفته شود و همواره باید به بیمارانی که ممکن است محصول را

دریافت نمایند، منتقل شود. خوشبختانه، هیچ موردی از انتقال ویروس توسط این محصول ثبت نشده است (۴۱). این دوز برای بزرگسالان و کودکان یکسان است و به تعداد محل‌های سوراخ شده از خارهای سنگ‌ماهی بستگی دارد؛ برای ۱ تا ۲ مورد، دوز یک ویال (۲۰۰۰ واحد)، برای ۳-۴ سوراخ، دو ویال (۴۰۰۰ واحد) و برای ۵ یا بیشتر، سه ویال (۶۰۰۰ واحد) تجویز می‌گردد. تزریق را می‌توان در صورت لزوم، تکرار کرد (۱۵۴ و ۱۵۸).

منع مصرف مطلق وجود ندارد؛ اما این محصول نباید استفاده شود مگر اینکه شواهد واضحی از آسیب با سنگ‌ماهی با اثرات شدید وجود داشته باشد (۲۹). هیچ اطلاعاتی در مورد ایمنی محصول در زنان باردار یا شیرده وجود ندارد (۴۱).

پیشگیری

مؤثرترین راه پیشگیری برای شناگران جهت جلوگیری از برخورد‌های آسیب‌زا با سنگ‌ماهی، پوشیدن کفش‌های با کف ضخیم و احتیاط هنگام گام نهادن در سواحل و سطوح کم عمق و پا گذاشتن بسیار آرام در آب می‌باشد (۱۲، ۲۳ و ۳۳). همچنین گفته می‌شود که کشانیدن گام، خطر آسیب را کاهش می‌دهد زیرا ممکن است سنگ‌ماهی را قبل از پا نهادن فرد بر روی خار باله پشتی آن آگاه نماید (۵۲). سنگ‌های صخره‌ای، ممکن است واقعاً سنگ نباشند (۱۲).

پیش‌آگهی

بهبودی معمولاً حدود ۴۸-۲۴ ساعت طول می‌کشد. هنگام سوراخ شدن قفسه سینه یا شکم بیمار، مرگ رخ داده است (۲۵).

نتیجه‌گیری

می‌گذارند و موجب عوارض مشخص موضعی و سیستمیک در قربانیان خود می‌گردند. مدیریت مسمومیت استاندارد بیشتر شامل احیای اولیه، تسکین علائم درد با درمان غوطه‌وری دمایی، تجویز آنتی‌ونوم برای رفع علائم موضعی شدید و سیستمیک یا برداشتن تیغ‌ها یا سایر اجسام خارجی توسط جراحی است. برای شروع درمان، استحمام اندام در آب گرم حدود ۴۵ درجه سانتی‌گراد پیشنهاد می‌گردد. آنتی‌بیوتیک‌ها به دلیل وقوع زخم عمیق، نکروز و عفونت‌های ثانویه، پیشنهاد می‌شوند. برای پیشگیری بیشتر، هنگام حرکت در سواحل دریا و سطوح کم‌عمق باید کفش‌هایی با کف ضخیم پوشید و آرام در آب گام نهاد. این مقاله تحت حمایت مالی هیچ سامان یا مؤسسه‌ای نمی‌باشد.

تضاد منافع

هیچ گونه تعارض منافع توسط نویسندگان بیان نشده است.

ماهیان زهرآگین زیادی در آب‌های شیرین و اقیانوس‌های جهان زندگی می‌کنند. در میان آن‌ها، سنگ‌ماهی (*Synanceja spp*)، زهرآگین‌ترین، خطرناک‌ترین و مرگبارترین ماهی است. سه گونه مشهور سنگ ماهی، شامل سینانستا هوریدا، سینانستا وروکوزا و سینانستا تراکینیس می‌باشند. زهر سنگ ماهی شامل ترکیبی از پروتئین‌ها نظیر استونوستوکسین، تراکینیلیزین، وروکووتوکسین، نئو- وروکووتوکسین و کاردیولپوتین است. چندین فعالیت آنزیمی مشخص شده در زهر شامل هیالورونیداز، پروتیناز (شبه ترومبین)، فسفودی استراز، آلکالین فسفومونواستراز، آرژنین استراز، آرژنین آمیدیناز، ۵- نوکلئوتیداز و استیل‌کولین استراز است. تزریق ونوم سنگ‌ماهی به حیوانات آزمایشگاهی موجب واکنش‌های موضعی و سیستمیک، مشابه به موارد مشاهده شده در سمیت انسانی می‌گردد، توکسین‌های آن‌ها با مکانیسم‌های مختلف بر روی گیرنده‌ها و کانال‌های یونی تأثیر

References:

1. Auerbach PS. Marine Envenomations. N Engl J Med 1991; 325: 486-93.
2. WHO (World Health Organization). Guidelines For Safe Recreational Water Environments. Vol 1. Coastal And Fresh Waters. Geneva: WHO, 2003.
3. Gomes HL, Menezes TN, Carnielli JBT, et al. Stonefish Antivenom Neutralises The Inflammatory And Cardiovascular Effects Induced By Scorpionfish *Scorpaena plumieri* Venom. Toxicon 2011; 57(7-8): 992-9.
4. Atkinson PR, Boyle A, Hartin D, et al. Is Hot Water Immersion An Effective Treatment For Marine Envenomation?. Emerg Med J 2006; 23(7): 503-8.
5. Isbister GK. Managing Injuries By Venomous Sea Creatures In Australia. Aust Presser 2007; 30: 117-21.
6. Isbister GK. Venomous Fish Stings In Tropical Northern Australia. Am J Emerg Med 2001; 19(7): 561-5.
7. Crouch BI, Caravati EM, Rollins DE. Marine Envenomation. Utah Poison Control Center (UPCC). A Program Of The University Of Utah College Of Pharmacy 2001; 3(2): 1-4.
8. Aghvami M, Zarei MH, Mirshamsi MR, et al. Selective Toxicity of Persian Gulf Stonefish (*Pseudosynanceia Melanostigma*) Venom on Human Acute Lymphocytic Leukemia B Lymphocytes. Trends Pept Protein Sci 2016; 1(2): 56-60.
9. Gallagher SA. Lionfish and Stonefish Envenomation Clinical Presentation. In: Alcock J editors. (Accessed June 10, 2021, at <http://emedicine.medscape.com/article/770764-clinical>). Updated Oct 3, 2013.

10. Darlene FO, Phee-Kheng C. Hot Water Immersion As A Treatment For Stonefish Sting: A Case Report. *Malays Fam Physician* 2013; 8(1): 28-32.
11. Tang WM, Fung KK, Cheng VC, et al. Rapidly Progressive Necrotising Fasciitis Following A Stonefish Sting: A Report Of Two Cases. *J Orthop Surg* 2006; 14(1): 67-70.
12. Khoo HE. Bioactive Proteins From Stonefish Venom. *Clin Exp Pharmacol Physiol* 2002; 29(9): 802-6.
13. Church JE, Hodgson WC. Dose Dependent Cardiovascular And Neuromuscular Effects Of Stonefish (*Synanceja trachynis*) Venom. *Toxicon* 2000; 38(3): 391-407.
14. Ghadessy FJ, Chen D, Kini RM, et al. Stonustoxin Is A Novel Lethal Factor From Stonefish (*Synanceja horrida*) Venom. cDNA Cloning And Characterization. *J Biol Chem* 1996; 271(41): 25575-81.
15. Halstead BW. Poisonous And Venomous Marine Animals Of The World. Princeton: Darwin Press, 2nd Rev Sub editions, 1988, 839-906.
16. Sutherland SK. Genus *Synanceia* (Linnaeus), Stonefishes: *S. Verrucosa* (Bloch And Schneider) And *S. Trachynis* (Richardson). *Australian Animal Toxins, The Creatures, Their Venoms And Care Of The Poisoned Patient*. Melbourne: Oxford University Press, 1983, 400-10.
17. Kreger AS, Molgó J, Comella JX, et al. Effects Of Stonefish (*Synanceia Trachynis*) Venom On Murine And Frog Neuromuscular Junctions. *Toxicon* 1993; 31(3): 307-17.
18. Hopkins BJ, Hodgson WC, Sutherland SK. Pharmacological Studies Of Stonefish (*Synanceja trachynis*) Venom. *Toxicon* 1994; 32(10): 1197-210.
19. Burnett JW. Aquatic Adversaries: Stonefish. *Cutis* 1998; 62(6): 269-70.
20. Smith MM, Heemstra PC. *Smith's Sea Fishes*. Braamfontein, Johannesburg: Macmillan South Africa, 1986.
21. Mohebbi GH, Nabipour I, Vazirizadeh A. The Sea, The Future Pharmacy. *Iran South Med J* 2014; 17(4): 748-88. (Persian)
22. Phoon WO, Alfred ER. A Study Of Stonefish (*Synanceja*) Stings In Singapore With A Review Of The Venomous Fishes Of Malaysia. *Singapore Med J* 1965; 6(3): 158-63.
23. Amazing Information About Stonefish. Interesting And Fun Facts About Stonefish. 2012. (Accessed June 20, 2021 at: <http://www.interestingfunfacts.com/amazing-information-about-stonefish.html>)
24. Facts about Stonefish. *The Iloveindia website*. 2014. (Accessed May 11, 2021, at <http://lifestyle.iloveindia.com/lounge/facts-about-stonefish-8120.html>)
25. Ling SKK, Cheng SC, Yen CH. Stonefish Envenomation With Acute Carpal Tunnel Syndrome. *Hong Kong Med J* 2009; 15(6): 471-3.
26. Guidelines For Managing Risks In Recreational Water. National Health And Medical Research Council, Australian Government. (Accessed June 5, 2021, at <https://www.nhmrc.gov.au/sites/default/files/images/guidelines-for-managing-risks-in-recreational-water.pdf>.)
27. Hopkins BJ, Hodgson WC. Enzyme And Biochemical Studies Of Stonefish (*Synanceja trachynis*) And Soldierfish (*Gymnapistes marmoratus*) Venoms. *Toxicon* 1998; 36(5): 791-3.
28. Deakins DE, Saunders PR. Purification Of The Lethal Fraction Of The Venom Of The Stonefish *Synanceja horrida* (Linnaeus). *Toxicon* 1967; 4(4): 257-62.
29. Lehmann DF, Hardy JC. Stonefish Envenomation. *N Engl J Med* 1993; 329(7): 510-1.
30. Yew WS, Khoo HE. The Role Of Tryptophan Residues In The Hemolytic Activity Of Stonustoxin, A Lethal Factor From Stonefish (*Synanceja horrida*) Venom. *Biochimie* 2000; 82(3): 251-7.
31. Fernandez I, Valladolid G, Varon J, et al. Encounters With Venomous Sea-Life. *J Emerg Med* 2011; 40(1): 103-12.
32. Saunders PR, Tokes L. Purification And Properties Of The Lethal Fraction Of The Venom Of The Stonefish *Synanceia horrida*

- (Linnaeus). *Biochim Biophys Acta* 1961; 52(3): 527-32.
33. Moser A, Stürchler D. Overview Of The Epidemiology Of Stonefish Poisonings, Their Treatment And Preventive Measures. *Schweiz Med Wochenschr* 1979; 109(15): 552-5.
34. Yazawa K, Wang JW, Hao LY, et al. Verrucotoxin, Stonefish Venom, Modulates Calcium Channel Activity In Guinea-Pig Ventricular Myocytes. *Br J Pharmacol* 2007; 151(8): 1198-203.
35. Abe T, Sumatora M, Hashimoto Y, et al. Purification And Properties Of A Cardioactive Toxin, Cardioleputin, From Stonefish, *Synanceja verrucosa*. *J Venom Anim Toxins* 1996; 2(2): 135-49.
36. Vazirizadeh A, Naderimanesh H, Bargahi A, et al. Impacts Of Persian Gulf Blackfin Stonefish Crude Venom On The Haematological Factors And Serum Enzymes Levels Of Laboratory Rat. *Iran South Med J* 2014; 17(4): 723-32. (Persian)
37. Jafari M, Mohebbi GH, Vazirizadeh A, et al. Medical Management In Stonefish Envenomation In Bushehr Port. *Iran South Med J* 2014; 17(3): 496-505. (Persian)
38. Shiomi K, Hosaka M, Fujita S, et al. Venoms From Six Species Of Marine Fish: Lethal And Hemolytic Activities And Their Neutralization By Commercial Stonefish Antivenom. *Mar Biol* 1989; 103: 285-9.
39. Saggiomo SL, Firth C, Wilson DT, et al. The Geographic Distribution, Venom Components, Pathology And Treatments Of Stonefish (*Synanceia* Spp.) Venom. *Mar Drugs* 2021; 19(6): 302.
40. Benyawa L. Glance Facts. Scare As Deadly Stonefish Found At Port Of Mombasa City. Characteristics Of The Stonefish. 2009. (Accessed May 11, 2021, at: <http://www.standardmedia.co.ke/?articleID=2000071485>)
41. Stonefish Antivenom Solution for Injection (AUST R 74892). Product Information. (Accessed June 25, 2021, at <https://labeling.seqirus.com/PI/AU/Stonefish-Antivenom/EN/Stonefish-Antivenom-Product-Information.pdf>).
42. Stone Fish: Types, characteristics, reproduction and more. (Accessed April 22, 2021, at <http://ourmarinespecies.com/c-fishes/stone-fish/>)
43. Poh CH, Yuen R, Khoo HE, et al. Purification And Partial Characterization Of Stonustoxin (Lethal Factor) From *Synanceja horrida* Venom. *Comp Biochem Physiol B Biochem* 1991; 99(4): 793-8.
44. Jafari M, Mohebbi GH, Vazirizadeh A, et al. The Injuries With Stonefish; Toxinology, Clinical Presentations And Treatment. *Iran South Med J* 2014; 16(6): 493-507. (Persian)
45. Mohebbi GH, Nabipour I, Vazirizadeh A. Neurotoxic Syndromes In Marine Poisonings; A Review. *Iran South Med J* 2014; 17(3): 451-75. (Persian)
46. Louis-Francois C, Mathoulin C, Halbwachs C, et al. Skin Complications Of Stonefish Envenomation In 6 Travellers Returning From The Indo-Pacific Maritime Region. *Bull Soc Pathol Exot* 2003; 96(5): 415-9.
47. Saunders PR, Rothman S, Medrano VA, et al. Cardiovascular Actions Of Venom Of The Stonefish *Synanceja horrida*. *Am J Physiol* 1962; 203(3): 429-32.
48. Poon KM, Ng CHV, Tse ML. A 10-Year Retrospective Review Of Stonefish Sting Injury In Hong Kong. *Hong Kong J Emerg Med* 2020; 27(5): 300-3.
49. Chan HY, Chan YC, Tse ML, et al. Venomous Fish Sting Cases Reported To Hong Kong Poison Information Centre: A Three-Year Retrospective Study On Epidemiology And Management. *Hong Kong J Emerg Med* 2010; 17(1): 40-4.
50. Hifumi T, Fukuchi Y, Otani N, et al. Clinical Characteristics Of Stonefish 'Oni-Daruma-Okoze' Envenomation In Japan. *Acute Med Surg* 2020; 7(1): e496.
51. Russell FE. Venomous And Poisonous Marine Animal Injuries. *Vet Hum Toxicol* 1991; 33(4): 334-7.
52. Prentice O, Fernandez WG, Luyber TJ, et al. Stonefish Envenomation. *Am J Emerg Med* 2008; 26(8): 972.e1-2.
53. Poh CH, Yuen R, Chung MCM, et al. Purification And Partial Characterization Of

- Hyaluronidase From Stonefish (*Synanceja horrida*) Venom. *Comp Biochem Physiol B Biochem* 1992; 101(1-2): 159-63.
54. Bradley C. Venomous Bites And Stings In Australia To 2005. Injury Research And Statistics Series Number 40. Canberra, Australia: Australian Institute Of Health And Welfare, 2008, 1-104.
55. Ngo SYA, Ong SHJ, Ponampalam R. Stonefish Envenomation Presenting To A Singapore Hospital. *Singapore Med J* 2009; 50(5): 506-9.
56. Pointer S, Harrison J. Venomous Bites And Stings, 2017–2018. Injury Research And Statistics Series Number 134. Canberra, Australia: Australian Institute Of Health And Welfare, 2021, 1-29.
57. Lee JY, Teoh LC, Leo SP. Stonefish Envenomations Of The Hand-A Local Marine Hazard: A Series Of 8 Cases And Review Of The Literature. *Ann Acad Med Singap* 2004; 33(4): 515-20.
58. Tay TKW, Chan HZ, Ahmad TST, et al. Stonefish Envenomation Of Hand With Impending Compartment Syndrome. *J Occup Med Toxicol* 2016; 11: 23.
59. Ghanem H, Khan MT, Al-Ghanem S, et al. Stonefish (*Synanceia verrucosa*) Envenomation In The Kingdom Of Bahrain. *J Bahrain Med Soc* 2019; 31(1): 5-9.
60. Nistor A, Giè O, Biegger P, et al. Surgical Vacuum-Assisted Closure For Treatment Of Dramatic Case Of Stonefish Envenomation. *Chin J Traumatol* 2010; 13(4): 250-2.
61. Maillaud C, Hoang-Oppermann T, Hoang-Oppermann V, et al. Is Stonefish *Synanceia verrucosa* Envenomation Potentially Lethal?. *Toxicon* 2020; 184: 78-82.
62. Halstead BW, Chitwood MJ, Modglin FR. Stonefish Stings, And The Venom Apparatus Of *Synanceja horrida* (Linnaeus). *Trans Am Microsc Soc* 1956; 75(4): 381-97.
63. Eschmeyer WN, Rama-Rao KV. Two New Stonefishes (Pisces, Scorpaeniidae) From The Indo-West Pacific With A Synopsis Of The Subfamily Synanceiinae. *Proc Calif Acad Sci* 1973; 39(4): 337-82.
64. Grobecker DB. The ‘Lie-In-Wait’ Feeding Mode Of A Cryptic Teleost, *Synanceia verrucosa*. *Environ Biol Fishes* 1983; 8: 191-202.
65. Southcott RV. Australian Venomous And Poisonous Fishes. *Clin Toxicol* 1977; 10(3): 291-325.
66. Edean R. A Study Of Distribution, Habitat, Behaviour, Venom Apparatus, And Venom Of The Stone-Fish. *Aust J Mar Freshw Res* 1961; 12(2): 177-90.
67. Williamson JA, Fenner PJ, Burnett JW, et al. Venomous And Poisonous Marine Animals: A Medical And Biological Handbook. 1st ed. Sydney, Australia: University of New South Wales Press, 1996, 354-95.
68. Gopalakrishnakone P, Gwee MC. The Structure Of The Venom Gland Of Stonefish *Synanceja horrida*. *Toxicon* 1993; 31(8): 979-88.
69. Gwee MC, Gopalakrishnakone P, Yuen R, et al. A Review Of Stonefish Venoms And Toxins. *Pharmacol Ther* 1994; 64(3): 509-28.
70. Smith WL, Wheeler WC. Venom Evolution Widespread In Fishes: A Phylogenetic Road Map For The Bioprospecting Of Piscine Venoms. *J Hered* 2006; 97(3): 206-17.
71. Wiener S. Observations On The Venom Of The Stone Fish (*Synanceja trachynis*). *Med J Aust* 1959; 46(19): 620-7.
72. Harris RJ, Youngman NJ, Chan W, et al. Getting Stoned: Characterisation Of The Coagulotoxic And Neurotoxic Effects Of Reef Stonefish (*Synanceia verrucosa*) Venom. *Toxicol Lett* 2021; 346: 16-22.
73. Garnier P, Goudey-Perrière F, Breton P, et al. Enzymatic Properties Of The Stonefish (*Synanceia verrucosa* Bloch And Schneider, 1801) Venom And Purification Of A Lethal, Hypotensive And Cytolytic Factor. *Toxicon* 1995; 33(2): 143-55.
74. Saggiomo SL, Zelenka C, Seymour J. Relationship Between Food And Venom Production In The Estuarine Stonefish *Synanceia horrida*. *Toxicon* 2017; 125: 19-23.
75. Schaeffer Jr RC, Carlson RW, Russell FE. Some Chemical Properties Of The Venom Of The Scorpionfish *Scorpaena guttata*. *Toxicon* 1971; 9(1): 69-78.

76. Ziegman R, Undheim EAB, Baillie G, et al. Investigation Of The Estuarine Stonefish (*Synanceia horrida*) Venom Composition. J Proteomics 2019; 201: 12-26.
77. Sung JML, Low KSY, Khoo HE. Characterization Of The Mechanism Underlying Stonustoxin-Mediated Relaxant Response In The Rat Aorta In Vitro. Biochem Pharmacol 2002; 63(6): 1113-8.
78. Kreger AS. Detection Of A Cytolytic Toxin In The Venom Of The Stonefish (*Synanceia trachynis*). Toxicon 1991; 29(6): 733-43.
79. Austin L, Gillis RG, Youatt G. Stonefish Venom: Some Biochemical And Chemical Observations. Aust J Exp Biol Med Sci 1965; 43(1): 79-90.
80. Chen D, Kini RM, Yuen R, et al. Haemolytic Activity Of Stonustoxin From Stonefish (*Synanceia horrida*) Venom: Pore Formation And The Role Of Cationic Amino Acid Residues. Biochem J 1997; 325: 685-91.
81. Singletary EM, Rochman AS, Bodmer JC, et al. Envenomations. Med Clin North Am 2005; 89(6): 1195-224.
82. Khoo HE, Chen D, Yuen R. Role Of Free Thiol Groups In The Biological Activities Of Stonustoxin, A Lethal Factor From Stonefish (*Synanceja horrida*) Venom. Toxicon 1998; 36(3): 469-76.
83. Duhig JV, Jones G. Haemotoxin Of The Venom Of *Synanceja horrida*. Aust Jour Exp Biol Med Sci 1928; 5: 173-9.
84. Liew HC, Khoo HE, Moore PK, et al. Synergism Between Hydrogen Sulfide (H₂S) And Nitric Oxide (NO) In Vasorelaxation Induced By Stonustoxin (SNTX), A Lethal And Hypotensive Protein Factor Isolated From Stonefish *Synanceja horrida* Venom. Life Sci 2007; 80(18): 1664-8.
85. Low KS, Gwee MC, Yuen R, et al. Stonustoxin: A Highly Potent Endothelium-Dependent Vasorelaxant In The Rat. Toxicon 1993; 31(11): 1471-8.
86. Ellisdon AM, Reboul CF, Panjekar S, et al. Stonefish Toxin Defines An Ancient Branch Of The Perforin-Like Superfamily. Proc Natl Acad Sci USA 2015; 112(50): 15360-5.
87. Ouanounou G, Malo M, Stinnakre J, et al. Trachynilysin, A Neurosecretory Protein Isolated From Stonefish (*Synanceia trachynis*) Venom, Forms Nonselective Pores In The Membrane Of NG108-15 Cells. J Biol Chem 2002; 277(42): 39119-27.
88. Kini RM, Evans HJ. A Common Cytolytic Region In Myotoxins, Hemolysins, Cardiotoxins And Antibacterial Peptides. Int J Pept Protein Res 1989; 34(4): 277-86.
89. Khoo HE, Yuen R, Poh CH, et al. Biological Activities Of *Synanceja horrida* (Stonefish) Venom. Nat Toxins 1992; 1(1): 54-60.
90. Khoo HE, Hon WM, Lee SH, et al. Effects Of Stonustoxin (Lethal Factor From *Synanceja horrida* Venom) On Platelet Aggregation. Toxicon 1995; 33(8): 1033-41.
91. Church JE, Hodgson WC. The Pharmacological Activity Of Fish Venoms. Toxicon 2002; 40(8): 1083-93.
92. Khoo HE, Chen D, Yuen R. The Role Of Cationic Amino Acid Residues In The Lethal Activity Of Stonustoxin From Stonefish (*Synanceja horrida*) Venom. Biochem Mol Biol Int 1998; 44(3): 643-6.
93. Yuen R, Cai B, Khoo HE. Production And Characterization Of Monoclonal Antibodies Against Stonustoxin From *Synanceja horrida*. Toxicon 1995; 33(12): 1557-64.
94. Ouanounou G, Mattei C, Meunier FA, et al. Trachynilysin, A Protein Neurotoxin Isolated From Stonefish (*Synanceia trachynis*) Venom, Increases Spontaneous Quantal Acetylcholine Release From Torpedo Marmorata Neuromuscular Junctions. Cybium Int J Ichthyol 2000; 24(3): 149-56.
95. Gruetter CA, Gruetter DY, Lyon JE, et al. Relationship Between Cyclic Guanosine 3':5'-Monophosphate Formation And Relaxation Of Coronary Arterial Smooth Muscle By Glyceryl Trinitrate, Nitroprusside, Nitrite And Nitric Oxide: Effects Of Methylene Blue And Methemoglobin. J Pharmacol Exp Ther 1981; 219(1): 181-6.
96. Archer SL, Huang JM, Hampl V, et al. Nitric Oxide And Cgmp Cause Vasorelaxation By Activation Of A Charybdotoxin-Sensitive K

- Channel By Cgmp-Dependent Protein Kinase. Proc Natl Acad Sci USA 1994; 91(16): 7583-7.
97. Hopkins BJ, Hodgson WC, Sutherland SK. Evidence For Adrenergic And Tachykinin Activity In Venom Of The Stonefish (*Synanceia trachynis*). Toxicon 1996; 34(5): 541-54.
98. Seto MH, Liu HL, Zajchowski DA, et al. Protein Fold Analysis Of The B30.2-Like Domain. Proteins 1999; 35(2): 235-49.
99. Henry J, Ribouchon MT, Offer C, et al. B30.2-Like Domain Proteins: A Growing Family. Biochem Biophys Res Commun 1997; 235(1): 162-5.
100. Sauviat MP, Meunier FA, Kreger A, et al. Effects Of Trachynilysin, A Protein Isolated From Stonefish (*Synanceia trachynis*) Venom, On Frog Atrial Heart Muscle. Toxicon 2000; 38(7): 945-59.
101. Austin L, Cairncross KD, McCallum IA. Some Pharmacological Actions Of The Venom Of The Stonefish '*Synanceja horrida*'. Arch Int Pharmacodyn Ther 1961; 131: 339-47.
102. Low K, Low SY, Gwee MCE, et al. Neuromuscular Effects Of The Venom Of The Stonefish *Synanceja horrida*. Eur J Pharmacol 1990; 183(2): 574.
103. Low KSY, Gwee MCE, Yuen R, et al. Stonustoxin: Effects On Neuromuscular Function In Vitro And In Vivo. Toxicon 1994; 32(5): 573-81.
104. Meunier FA, Mattei C, Chameau P, et al. Trachynilysin Mediates SNARE-Dependent Release Of Catecholamines From Chromaffin Cells Via External And Stored Ca²⁺. J Cell Sci 2000; 113(7): 1119-25.
105. Rosenthal L, Meldolesi J. A-Latrotoxin And Related Toxins. Pharmacol Ther 1989; 42(1): 115-34.
106. Spira ME, Klein M, Hochner B, et al. Ultrastructural Changes Accompanying The Disturbances Of Neuromuscular Transmission Caused By Pardachirus Toxin. Neuroscience 1976; 1(2): 117-24.
107. Renner P, Caratsch CG, Waser PG, et al. Presynaptic Effects Of The Pardaxins, Polypeptides Isolated From The Gland Secretion Of The Flatfish *Pardachirus Marmoratus*. Neuroscience 1987; 23(1): 319-25.
108. Lopez CAJ, Magee CAJ, Belyea CCM, et al. Finger Flexor Tenosynovitis from Stonefish Envenomation Injury. J Am Acad Orthop Surg Glob Res Rev 2019; 3(5): e024.
109. Zieglgänsberger W. Substance P And Pain Chronicity. Cell Tissue Res 2019; 375(1): 227-41.
110. Garnier P, Ducancel F, Ogawa T, et al. Complete Amino-Acid Sequence Of The B-Subunit Of VTX From Venom Of The Stonefish (*Synanceia verrucosa*) As Identified From Cdna Cloning Experiments. Biochim Biophys Acta Protein Struct Mol Enzymol 1997; 1337(1): 1-5.
111. Goudey-Perrière F, Perrière C. Propriétés Pharmacologiques Des Venins De Poissons [Pharmacological Properties Of Fish Venoms]. C R Seances Soc Biol Fil 1998; 192(3): 503-48.
112. Ghadessy FJ, Jeyaseelan K, Chung MC, et al. A Genomic Region Encoding Stonefish (*Synanceja horrida*) Stonustoxin Beta-Subunit Contains An Intron. Toxicon 1994; 32(12): 1684-8.
113. Sauviat MP, Garnier P, Goudey-Perriere F, et al. Does Crude Venom Of The Stonefish (*Synanceia verrucosa*) Activate Badrenoceptors In The Frog Heart Muscle?. Toxicon 1995; 33(9): 1207-13.
114. Garnier P, Sauviat MP, Goudey-Perriere F, et al. Cardiotoxicity Of Verrucotoxin, A Protein Isolated From The Venom Of *Synanceia verrucosa*. Toxicon 1997; 35(1): 47-55.
115. Wang JW, Yazawa K, Hao LY, et al. Verrucotoxin Inhibits KATP Channels In Cardiac Myocytes Through A Muscarinic M3 Receptor-PKC Pathway. Eur J Pharmacol 2007; 563(1-3): 172-9.
116. O'Donnell SR, Wanstall JC. Pharmacological Experiments Demonstrate That Toad (*Bufo marinus*) Atrial Beta-Adrenoceptors Are Not Identical With Mammalian Beta2- Or Beta1-Adrenoceptors. Life Sci 1982; 31(7): 701-8.
117. Wahsha MA, Al-Najjar TH, Al-Tarawneh H, et al. Biochemical And Histological Observations Of Lung Injury After Stonefish (*Synanceia*

- verrucosa*) Envenom In BALB/c Mice. Fresenius Environ Bull 2017; 26: 7204-8.
118. Rosenbaum DM, Rasmussen SGF, Kobilka BK. The Structure And Function Of G-Protein-Coupled Receptors. Nature 2009; 459: 356-63.
119. Madamanchi A. B-Adrenergic Receptor Signaling In Cardiac Function And Heart Failure. McGill J Med 2007; 10(2): 99-104.
120. Breton P, Delamanche I, Buée J, et al. Evidence for a neurotoxic activity in crude venom of the stonefish (*Synanceia verrucosa*). J Nat Toxins 2002; 11(4): 305-13.
121. Ueda A, Suzuki M, Honma T, et al. Purification, Properties And Cdna Cloning Of Neoverrucotoxin (neoVTX), A Hemolytic Lethal Factor From The Stonefish *Synanceia Verrucosa* Venom. Biochim Biophys Acta Gen Subj 2006; 1760(11): 1713-22.
122. Calvete JJ, Fasoli E, Sanz L, et al. Exploring The Venom Proteome Of The Western Diamondback Rattlesnake, *Crotalus atrox*, Via Snake Venomics And Combinatorial Peptide Ligand Library Approaches. J Proteome Res 2009; 8(6): 3055-67.
123. Colasante C, Meunier FA, Kreger AS, et al. Selective Depletion Of Clear Synaptic Vesicles And Enhanced Quantal Transmitter Release At Frog Motor Nerve Endings Produced By Trachynilysin, A Protein Toxin Isolated From Stonefish (*Synanceia trachynis*) Venom. Eur J Neurosci 1996; 8(10): 2149-56.
124. Bauerfeind R, Huttner WB, Almers W, et al. Quantal Neurotransmitter Release From Early Endosomes?. Trends Cell Biol 1994; 4(5): 155-6.
125. Chameau P, Meunier FA, Kreger AS, et al. Increase Of Intracellular Ca^{2+} In Cultured Mouse Hippocampal Neurons By Trachynilysin, A Protein Toxin Extracted From Stonefish (*Synanceia trachynis*) Venom. Toxicon 1997; 35(12): 1662.
126. Kemparaju K, Girish KS. Snake Venom Hyaluronidase: A Therapeutic Target. Cell Biochem Funct 2006; 24(1): 7-12.
127. Tu AT, Hendon RR. Characterization Of Lizard Venom Hyaluronidase And Evidence For Its Action As A Spreading Factor. Comp Biochem Physiol B 1983; 76(2): 377-83.
128. Sugahara K, Yamada S, Sugiura M, et al. Identification Of The Reaction Products Of The Purified Hyaluronidase From Stonefish (*Synanceia horrida*) Venom. Biochem J 1992; 283(1): 99-104.
129. Ng HC, Ranganathan S, Chua KL, et al. Cloning And Molecular Characterization Of The First Aquatic Hyaluronidase, SFHYA1, From The Venom Of Stonefish (*Synanceia horrida*). Gene 2005; 346: 71-81.
130. Madokoro M, Ueda A, Kiriake A, et al. Properties And Cdna Cloning Of A Hyaluronidase From The Stonefish *Synanceia verrucosa* Venom. Toxicon 2011; 58(4): 285-92.
131. Fagone P, Jackowski S. Membrane Phospholipid Synthesis And Endoplasmic Reticulum Function. J Lipid Res 2009; 50: S311-6.
132. Cameron AM, Endean R. Epidermal Secretions And The Evolution Of Venom Glands In Fishes. Toxicon 1973; 11(5): 401-10.
133. Cameron AM, Lewis RJ. The Antispasmodic Action On Guinea Pig Ileum Of A Fraction Obtained From The Toxic Skin Secretion Of The Stonefish *Synanceia trachynis*. Toxicon 1982; 20(6): 991-1000.
134. Cameron AM, SurrIDGE J, Stablum W, et al. A Crinotoxin From The Skin Tubercle Glands Of A Stonefish (*Synanceia trachynis*). Toxicon 1981; 19(1): 159-70.
135. Hoy AW, Cameron AM. Effect Of A Smooth Muscle Relaxant From The Stonefish, *Synanceia trachynis*, On KCl-Induced Responses In The Guinea-Pig Vas Deferens. Eur J Pharmacol 1986; 129(1-2): 105-12.
136. Rizzi A, Gobeil F, Calo G, et al. FR 173657: A New, Potent, Nonpeptide Kinin B2 Receptor Antagonist. An In Vitro Study. Hypertension 1997; 29(4): 951-6.
137. Calixto JB, Medeiros R, Fernandes ES, et al. Kinin B₁ Receptors: Key G-Protein-Coupled Receptors And Their Role In Inflammatory And Painful Processes. Br J Pharmacol 2004; 143(7): 803-18.
138. Vijavan M, Chandra N. Lectins. Curr Opin Struc Biol 1999; 9(6): 707-14.
139. Garnier P, Grosclaude JM, Goudey-Perrière F, et al. Presence Of Norepinephrine And Other

- Biogenic Amines In Stonefish Venom. J Chromatogr B Biomed Appl 1996; 685(2): 364-9.
140. Omar HED. The Biological And Medical Significance Of Poisonous Animals. J Biol Earth Sci 2013; 3: M25-41.
141. Kato K, Nakagawa H, Shinohara M, et al. Purification Of A Novel Lectin From The Dorsal Spines Of The Stonefish, *Synanceia verrucosa*. J Osaka Dent Univ 2016; 50(2): 55-61.
142. Shiomi K, Hosaka M, Kikuchi T. Properties Of A Lethal Factor In Stonefish *Synanceia verrucosa* Venom. Nippon Suisan Gakkaishi 1993; 59: 1099.
143. Khalil AM, Wahsha MA, Khadra KMA, et al. Biochemical And Histopathological Effects Of The Stonefish (*Synanceia verrucosa*) Venom In Rats. Toxicon 2018; 142: 45-51.
144. Roche ET, Halstead BW. Fish Bulletin Of The Department Of Fish And Game Of State Of California. 1972; 156: 1-49.
145. Halstead BW. Injurious Effects From The Sting Of The Scorpionfish, *Scorpaena guttata*. With Report Of A Case. Calif Med 1951; 74(5): 395-6.
146. Maillaud C, Maillard A. Management Of Stonefish And Other Scorpaenidae Envenomations. Contribution Of Regional Anesthesia. J Eur Des Urgen 2004; 17(4): 192-7.
147. Russell FE. Weever Fish Sting: The Last Word. Br Med J 1983; 287(6397): 981-2.
148. Taylor G. Toxic Fish Spine Injury: Lessons From 11 Years Experience. South Pac Underwater Med Soc 2000; 30(1): 7-8.
149. Fenner P. Marine Bites And Stings First Aid And Medical Treatment (Note). Med today 2002; 3(1): 26-31.
150. Lyon RM. Stonefish poisoning. Wilderness Environ Med 2004; 15 (4): 248-8.
151. Barnett S, Saggiomo S, Smout M, et al. Heat Deactivation Of The Stonefish *Synanceia horrida* Venom-Implications For First-Aid Management. Diving Hyperb Med 2017; 47(3): 155-8.
152. Lau KK, Chan CK, Tse ML, et al. Hot Water Immersion Therapy With A Thermal Isolator In Patient With Marine Envenomation. Hong Kong J Emerg Med 2011; 18(4): 204-9.
153. Kizer KW, McKinney HE, Auerbach PS. Scorpaenidae Envenomation. A Five-Year Poison Center Experience. JAMA 1985; 253(6): 807-10.
154. NPS, Stonefish Antivenom, consumer medicine information; Schedule S4; Date published: 01 August 2019. (Accessed June 15, 2021, at <https://www.nps.org.au/medicine-finder/stonefish-antivenom-solution-for-injection>)
155. Burnouf T, Griffiths E, Padilla A, et al. Assessment Of The Viral Safety Of Antivenoms Fractionated From Equine Plasma. Biologicals 2004; 32(3): 115-28.
156. Gomes HL, Andrich F, Mauad H, et al. Cardiovascular Effects Of Scorpionfish (*Scorpaena plumieri*) Venom. Toxicon 2010; 55(2-3): 580-9.
157. Church JE, Hodgson WC. Stonefish (*Synanceia* Spp.) Antivenom Neutralises The In Vitro And In Vivo Cardiovascular Activity Of Soldierfish (*Gymnapistes marmoratus*) Venom. Toxicon 2001; 39(2-3): 319-24.
158. Cooper NK. Stone Fish And Stingrays--Some Notes On The Injuries That They Cause To Man. J R Army Med Corps 1991; 137(3): 136-40.
159. Church JE, Hodgson WC. Stonefish (*Synanceia trachynis*) Antivenom: In Vitro Efficacy And Clinical Use. J Toxicol Toxin Rev 2003; 22(1): 69-76.

Review Article

Stonefish (*Synanceja spp.*) from A to Z and their Envenomation: a Review

GH. Mohebbi (PhD)^{1}*

¹ *The Persian Gulf Marine Biotechnology Research Center, The Persian Gulf Biomedical Sciences Research Institute, Bushehr University of Medical Sciences, Bushehr, Iran*

(Received 5 Jul, 2021)

Accepted 9 Aug, 2021)

Abstract

The Stonefish is believed to be the most venomous, dangerous, and even fatal fish to human and animals that currently known in the worldwide. Their venom apparatus involve 12-13 dorsal 'hypodermic', 2 pelvic, and 3 anal spines, which contain venom, excepting the ornate pectoral spines that are not venomous. Venom with some activities contains a mixture of enzyme and non-enzyme proteins, like stonustoxin, trachynilysin, verrucotoxin and Neo verrucotoxin. They act on receptors and ion channels, with various mechanisms; and cause marked local and systemic complications in envenomed animals. Most typical envenomation management protocols consist of initial resuscitation, symptomatic relief with hot water (45°C) therapy, antivenom for systemic or severe local signs, and surgical removal of spines or other foreign bodies. There were a lot of recommends about use of hot water immersion, early on-site, as a first aid measure. Antibiotics are proposed for deep puncture injuries, due to the high incidence of ulceration, necrosis, and secondary infections. As in everything else, prevention is better than cure; and must wear shoes and step with judgment in stonefish aqueous territories!

Keywords: Stonefish, Envenomation, Toxins, Clinical manifestations, Toxicity management.

©Iran South Med J.All right reserved

*Cite this article as: Mohebbi GH. Stonefish (*Synanceja spp.*) from A to Z and their Envenomation: a Review. Iran South Med J 2021; 24(4): 300-340*

Copyright © 2021 Mohebbi. This is an open-access article distributed under the terms of the Creative Commons Attribution-noncommercial 4.0 International License which permits copy and redistribute the material just in noncommercial usages, provided the original work is properly cited.

*Address for correspondence: The Persian Gulf Marine Biotechnology Research Center, The Persian Gulf Biomedical Sciences Research Institute, Bushehr University of Medical Sciences, Bushehr, Iran. Email: mohebbihsn@yahoo.com

*ORCID: 0000-0003-3393-702X